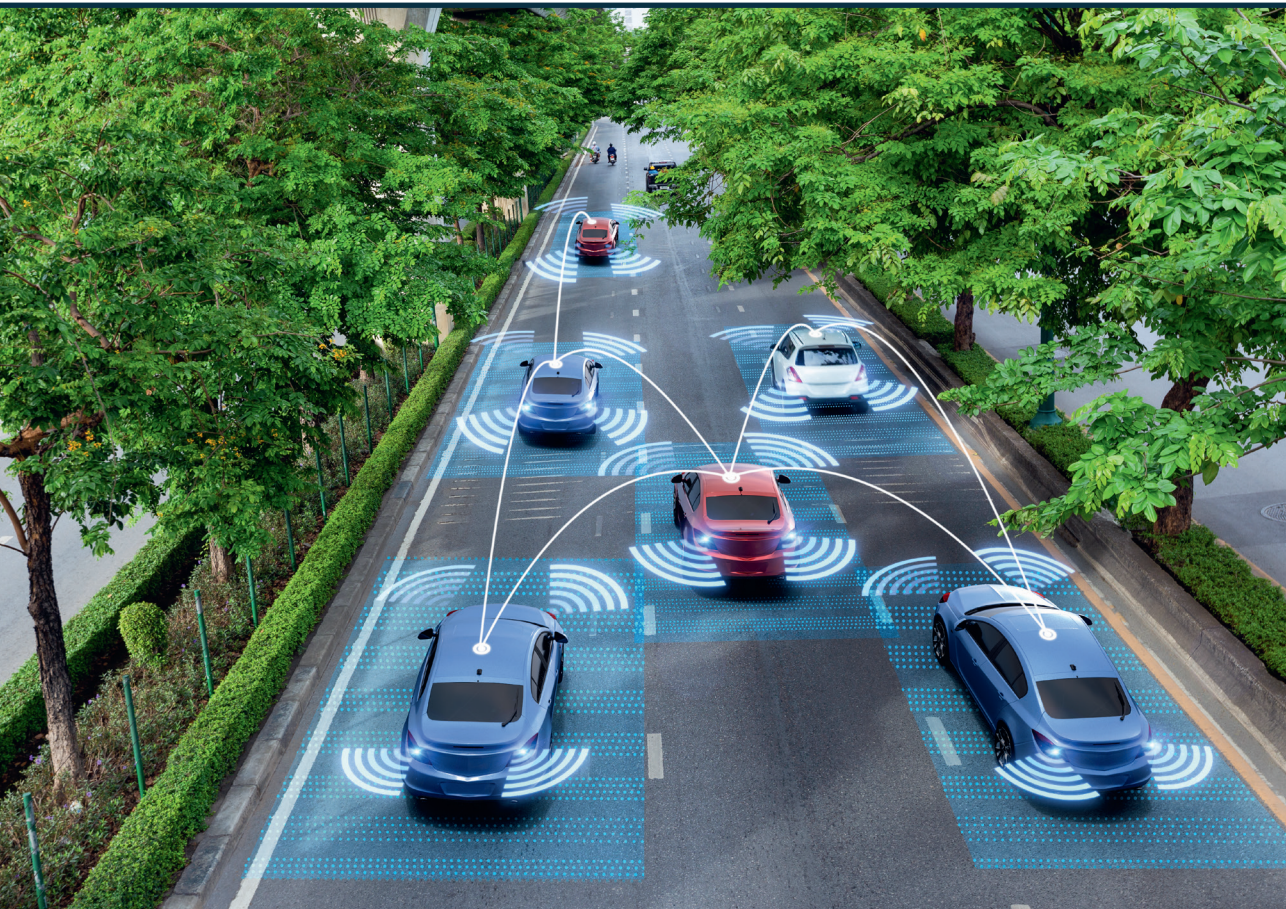


Anna Beinaroviča

**IMŪNO NEIRONU TĪKLU IZPĒTE UN IZSTRĀDE  
ELEKTROTRANSPORTA BĪSTAMO SITUĀCIJU  
ATPAZĪŠANAI UN NOVĒRŠANAI**

Promocijas darba kopsavilkums



# RĪGAS TEHNISKĀ UNIVERSITĀTE

Elektrotehnikas un vides inženierzinātņu fakultāte  
Industriālās elektronikas un elektrotehnikas institūts

**Anna Beinaroviča**

Doktora studiju programmas “Elektrotehnoloģiju datorvadība” doktorante

## **IMŪNO NEIRONU TĪKLU IZPĒTE UN IZSTRĀDE ELEKTROTRANSPORTA BĪSTAMO SITUĀCIJU ATPAZĪŠANAI UN NOVĒRŠANAI**

**Promocijas darba kopsavilkums**

Zinātniskais vadītājs  
profesors *Dr. sc. ing.*  
**MIHAILS GOROBECΣ**

RTU Izdevniecība  
Rīga 2023

Beinaroviča A. Imūno neironu tīklu izpēte un izstrāde elektrotransporta bīstamo situāciju atpazīšanai un novēršanai. Promocijas darba kopsavilkums. Rīga: RTU Izdevniecība, 2023. 39 lpp.

Iespiests saskaņā ar promocijas padomes "RTU P-14" 2023. gada 15. maija lēmumu, protokols Nr. 04030-9.12.2/3.



Promocijas darbs izstrādāts ar Eiropas Sociālā fonda atbalstu darbības programmas "Izaugsme un nodarbinātība" 8.2.2. specifiskā atbalsta mērķa "Stiprināt augstākās izglītības institūciju akadēmisko personālu stratēģiskās specializācijas jomās" projektā Nr. 8.2.2.0/20/I/008 "Rīgas Tehniskās universitātes un Banku augstskolas doktorantu un akadēmiskā personāla stiprināšana stratēģiskās specializācijas jomās". Pētījums tapis ar Rīgas Tehniskās universitātes Doktorantūras grantu programmas atbalstu.

<https://doi.org/10.7250/9789934229862>

ISBN 978-9934-22-986-2 (pdf)

# **PROMOCIJAS DARBS IZVIRZĪTS ZINĀTNES DOKTORA GRĀDA IEGŪŠANAI RĪGAS TEHNISKAJĀ UNIVERSITĀTĒ**

Promocijas darbs zinātnes doktora (*Ph. D.*) grāda iegūšanai tiek publiski aizstāvēts 2023. gada 27. novembrī plkst. 10.00 Rīgas Tehniskās universitātes Elektrotehnikas un vides inženierzinātņu fakultātē, Āzenes 12/1 ielā, 212. auditorijā.

## **OFICIĀLIE RECENZENTI**

Profesors *Dr. sc. ing.* Nadežda Kuņicina,  
Rīgas Tehniskā universitāte

Profesors *Dr. sc. ing. Carlos M. Travieso-González*,  
Las Palmas de Gran Canaria Universitāte, Spānija

Profesors *Dr. sc. ing.* Irina Jackiva,  
Transporta un sakaru institūts, Latvija

## **APSTIPRINĀJUMS**

Apstiprinu, ka esmu izstrādājusi šo promocijas darbu, kas iesniegts izskatīšanai Rīgas Tehniskajā universitātē zinātnes doktora (*Ph. D.*) grāda iegūšanai. Promocijas darbs zinātniskā grāda iegūšanai nav iesniegts neviens citā universitātē.

Anna Beinaroviča ..... (paraksts)

Datums: .....

Promocijas darbs ir uzrakstīts angļu valodā, tajā ir ievads, piecas nodaļas, secinājumi, literatūras saraksts, 66 attēli, 81 tabula, 158 formulas, kopā 175 lappuses. Literatūras sarakstā ir 92 nosaukumi.

# Saturs

Tēmas aktualitāte .....	5
Darba mērķis un uzdevumi.....	5
Darba zinātniskā novitāte.....	6
Darba praktiskais lietojums.....	6
Darba aprobācija .....	6
Publikācijas.....	7
Promocijas darba saturs.....	10
Ievads.....	10
1. Elektriskā transporta drošības kontroles uzdevuma nostādne.....	10
2. Izstrādātie matemātiskie modeļi.....	14
3. Izstrādātie algoritmi elektrotransporta bīstamo situāciju atpazīšanas un novēršanas uzdevumam .....	21
4. Izstrādātie prototipi un datormodeļi piedāvāto algoritmu testēšanai.....	25
5. Izstrādāto algoritmu eksperimentālā pārbaude .....	26
Secinājumi .....	29
Izmantotie informācijas avoti.....	32

## Tēmas aktualitāte

Pilnveidot pašbraukšanas tehnoloģiju cenšas ne tikai autoražotājs “Tesla”, pie tā strādā arī “Honda”, kā arī uzņēmumam “Google” piederošais “Waymo” un uzņēmumam “General Motors” piederošais “Cruise”. Visi šie uzņēmumi prognozēja, ka līdz 2020. gadam tiem būs pilnībā pašbraucošas automašīnas. Taču pagaidām nevienam no tiem tādu nav. Pilnībā pašbraucoša transportlīdzekļa izveide ir daudz grūtāka, nekā transportlīdzekļu ražotāji sākotnēji domāja. Ir jāņem vērā plašs iespējamo risku un elementu klāsts.

Šis fakts un veiktie pārskati ļauj secināt, ka mākslīgā intelekta sistēmu transporta drošības uzlabošanas problēma ir aktuāla un tās risināšanai nepieciešams zinātnisks ieguldījums.

Promocijas darbs ir saistīts ar elektriskā transporta drošību, nodrošinot jaunus imūnā neironu tīklā balstītus algoritmus tā kontrolei. Promocijas darbs veltīts vairāku bezpilotu elektrisko transportlīdzekļu, kas pārvietojas un veic savus uzdevumus vienā un tajā pašā teritorijā, drošības uzlabošanai, pētot un attīstot imūno neironu tīklu tehnoloģiju. Izstrādātā tehnoloģija nodrošina iespēju nepārtrauktī bez uzraudzības pašmācīties, lai izvairītos no sadursmēm, mainot ātrumu un trajektoriju, maksimāli palielinot uzdevumu izpildes efektivitāti reāllaikā.

## Darba mērķis un uzdevumi

Promocijas darba galvenais mērķis ir izstrādāt imūnneironu tīklā balstītu mašīnmācības tehnoloģiju bez uzraudzības drošai transportlīdzekļa vadībai.

Galvenā hipotēze: imūnais neironu tīkls var pieņemt vadības lēmumus, lai novērstu transportlīdzekļu sadursmes ar labāku veiktspēju nekā tradicionālais neironu tīkls šajā uzdevumā.

Mērķa sasniegšanai definēti un izpildīti vairāki uzdevumi.

- Izpētīt elektrotransporta satiksmes kustības vadības objektus un to mijiedarbību.
- Izpētīt esošos risinājumus bīstamo situāciju atpazišanai un novēršanai elektrotransportā, kas balstīti mākslīgo neironu tīklu algoritmos.
- Salīdzināt centralizētās, decentralizētās un dalītās sistēmas struktūras, izvēlēties definētajam uzdevumam piemērotāko un izstrādāt jaunu sistēmas struktūru, kas varētu palīdzēt piedāvāto sistēmu padarīt lētāku, ātrāku un vieglāk ieviešamu.
- Izstrādāt matemātiskos modeļus un algoritmus, kas varētu palīdzēt risināt dažāda veida transporta drošības un sadursmju novēršanas uzdevumus, piemēram, objektu atpazišanas uzdevumu, luksoforu signālu atpazišanas uzdevumu, iespējamo krustojuma punktu noteikšanas uzdevumu, sadursmes varbūtības novērtēšanas uzdevumu, sadursmju novēršanas uzdevumu.
- Izstrādāt jaunu imūnā neironu tīklā balstītu algoritmu bezpilotu elektrotransporta bīstamo situāciju atpazišanas un novēršanas uzdevumam.
- Izstrādāt elektrotransporta elektriskās kēdes diagrammu ar imūnatmiņu, pamatojoties uz viena borta datoru.
- Veikt datorsimulācijas un pierādīt piedāvāto algoritmu efektivitāti.

## **Darba zinātniskā novitāte**

Promocijas darba nozīmīgākais zinātniskais jaunums ir imūno neironu tīklu tehnoloģija, ko iedvesmojušas divas bioloģiskas sistēmas – imūnsistēma un neironu tīkli un to mākslīgie analogi.

Šai tehnoloģijai izstrādātie jaunie matemātiskie modeļi un algoritmi ļauj izlaist iepriekš uzraudzīto apmācības soli. Tie ir pielāgoti nepārtraukta bezpilota elektrotransportlīdzekļa pašmācībai reāllaikā, lai atpazītu bīstamo situāciju un novērstu sadursmi, pieņemot kontroles lēmumus autonomi, saglabājot neironu tīklu struktūras un svarus imūnajā atmiņā un to pārmācot, lai samazinātu sadursmes iespējamību un palielinātu veikspēju.

Šim nolūkam promocijas darbā izstrādāti jauni matemātiskie modeļi un algoritmi iespējamo krustošanās punktu noteikšanai, sadursmes varbūtības novērtēšanai un sadursmes varbūtības minimizēšanai ar neironu tīklu.

Darbā izstrādāti un piedāvātajā sistēmā integrēti papildu drošības uzlabošanas matemātiskie modeļi un metodes objektu atpazīšanai un luksoforu signālu atpazīšanai.

## **Darba praktiskais lietojums**

Promocijas darbā izstrādātos algoritmus var realizēt viedās elektrisko transportlīdzekļu vadības sistēmās, lai izvairītos no avārijām un samazinātu sadursmu risku. Izstrādāto algoritmu rezultāti piedāvā risinājumus datu vākšanas no videonovērošanas kamerām, sensoriem, mākoņu datubāzēm un citiem viedās transporta infrastruktūras objektiem, informācijas apstrādes, potenciāli bīstamo situāciju identificēšanas, riska novērtēšanu un lēmumu pieņemšanu par pasākumiem, lai izvairītos no negadījuma.

Izstrādātie algoritmi ļauj realizēt elektrotransporta optimālas vadības sistēmas datormodelēšanu un simulāciju, lai atpazītu un novērstu bīstamas situācijas. Piedāvātie algoritmi ir daudzfunkcionāli, tos var ieviest dažāda veida transportlīdzekļos bez obligātām izmaiņām un infrastruktūras objektu uzlabojumiem. Tomēr viedā infrastruktūra var nodrošināt papildu ievadi izstrādātajai sistēmai.

## **Darba aprobācija**

1. Starptautiskā konference “2020 IEEE 61th International Scientific Conference on Power and Electrical Engineering of Riga Technical University (RTUCON)”, referāts “Unsupervised Transport Vehicle Control: Simulation Study and Performance Results”, 2020. g., Rīga, Latvija.
2. Starptautiskā konference “2019 IEEE 60th International Scientific Conference on Power and Electrical Engineering of Riga Technical University (RTUCON)”, referāts “Modelling and Simulation of Transport Collision Probability Recognition Algorithm for Traffic Safety”, 2019. g., Rīga, Latvija.
3. Starptautiskā konference “Applications of Intelligent Systems (APPIS 2019)”, referāts “Machine Learning Algorithm of Immune Neuro-Fuzzy Anti-collision Embedded System

- for Autonomous Unmanned Aerial Vehicles’ Team”. 2019. g., Laspalmasa de Grankanārija, Spānija.
4. 3. Starptautiskā konference “20th European Conference on Power Electronics and Applications, EPE’18 ECCE Europe”, referāts “Algorithm for Immune Neural Network in Transport Collision Prevention Control System of Unmanned Electrical Vehicle”. 2018. g., Rīga, Latvija.
  5. Starptautiskā konference “2018 IEEE 59th International Scientific Conference on Power and Electrical Engineering of Riga Technical University (RTUCON)”, referāts “Algorithm of Signal Recognition for Railway Embedded Control Devices”. 2018. g., Rīga, Latvija.
  6. Starptautiskā konference “22nd International Scientific Conference. Transport Means 2018”, referāts “Self-Organized Learning Algorithm for Immune Neuro-Fuzzy Anti-collision System of Autonomous Unmanned Aerial Vehicles’ Team”. 2018. g., Trakai, Lietuva.
  7. Starptautiskā konference “12th International Conference Intelligent Technologies in Logistics and Mechatronics Systems”, referāts “Control Algorithm of Multiple Unmanned Electrical Aerial Vehicles for Their Collision Prevention”. 2018. g., Panevēža, Lietuva.
  8. Starptautiskā konference “2017 IEEE 58th International Scientific Conference on Power and Electrical Engineering of Riga Technical University (RTUCON)”, referāts “Convolutional Neural Network in Turn Recognition Tasks for Electric Transport Safety”. 2017. g., Rīga, Latvija.
  9. Starptautiskais simpozijss “25th International Symposium on Dynamics of Vehicles on Roads and Tracks (IAVSD 2017)”, referāts “Convolutional Neural Networks of Active Railway Safety System with Braking Dynamics Prediction. Dynamics of Vehicles on Roads and Tracks”. 2017. g., Rokhemptona, Kvīnslenda, Austrālija.
  10. Starptautiskā konference “31st European Conference on Modelling and Simulation”, referāts “Modeling and Simulation of Public Transport Safety and Scheduling Algorithm”. 2017. g., Budapešta, Ungārija.
  11. Starptautiskā konference “Building up Efficient and Sustainable Transport Infrastructure (BESTInfra)”, referāts “Innovative neuro-fuzzy system of smart transport infrastructure for road traffic”. 2017. g., Prāga, Čehija.
  12. Starptautiskā konference “57th International Scientific Conference on Power and Electrical Engineering of Riga Technical University (RTUCON)”, referāts “Immune Algorithm and Intelligent Devices for Schedule Overlap Prevention in Electric Transport”. 2016. g., Rīga, Latvija.

## **Publikācijas**

1. Beinaroviča A., Gorobecs M., Ribickis L. Immune Neuro-Fuzzy Network Based System for Collision Free Motion Control of Unmanned Electrical Vehicles. 25<sup>th</sup> European Conference on Power Electronics and Applications (EPE 2023): Konferences materiāli, Olborga, Dānija, 4.-8. Septembris 2023.

2. Gorobecs M., Ribickis L., Beinaroviča A., Kornejevs A. Immune Neural Network Machine Learning of Autonomous Drones for Energy Efficiency and Collision Prevention: Open access chapter “Drones - Various Applications”, Septembris 2023.
3. Beinaroviča A., Gorobecs M., Alps I. Unsupervised Transport Vehicle Control: Simulation Study and Performance Results. 2020 IEEE 61st International Scientific Conference on Power and Electrical Engineering of Riga Technical University (RTUCON 2020): Konferences materiāli, Rīga, Latvija, 5.–7. novembris 2020., 303.–308. lpp.
4. Beinaroviča A., Gorobecs M., Alps I. Modelling and Simulation of Transport Collision Probability Recognition Algorithm for Traffic Safety. 2019 IEEE 60th International Scientific Conference on Power and Electrical Engineering of Riga Technical University (RTUCON 2019): Konferences materiāli, Rīga, Latvija, 7.–9. oktobris 2019., 1.–6. lpp.
5. Beinaroviča A., Gorobecs M., Ribickis L., Ļevčenkovs A. Machine Learning Algorithm of Immune Neuro-Fuzzy Anticollision Embedded System for Autonomous Unmanned Aerial Vehicles Team. 2nd International Conference on Applications of Intelligent Systems (APPIS 2019): Konferences materiāli. ACM International Conference Proceedings Series, Lasipalmas de Gran Canaria, Spānija, 7.–9. janvāris 2019., 1.–8. lpp.
6. Beinaroviča A., Gorobecs M., Alps. I., Ļevčenkovs A. Algorithm for Immune Neural Network in Transport Collision Prevention Control System of Unmanned Electrical Vehicle. 2018 20th European Conference on Power Electronics and Applications (EPE'18 ECCE Europe): Konferences materiāli, Rīga, Latvija, 17.–21. septembris 2018., 1.–8. lpp.
7. Beinaroviča A., Gorobecs M., Alps. I., Ļevčenkovs A. Algorithm of Signal Recognition for Railway Embedded Control Devices. 2018 IEEE 59th International Scientific Conference on Power and Electrical Engineering of Riga Technical University (RTUCON 2018): Konferences materiāli, Rīga, Latvija, 12.–14. novembris 2018., 1.–5. lpp.
8. Beinaroviča A., Gorobecs M., Ļevčenkovs A. Control Algorithm of Multiple Unmanned Electrical Aerial Vehicles for Their Collision Prevention. 12th International Conference Intelligent Technologies in Logistics and Mechatronics Systems: Konferences materiāli, Panevēža, Lietuva, 26.–27. aprīlis 2018., 37.–43. lpp.
9. Beinaroviča A., Gorobecs M., Ļevčenkovs A. Self-Organized Learning Algorithm for Immune Neuro-Fuzzy Anti-collision System of Autonomous Unmanned Aerial Vehicles’ Team. 22nd International Scientific Conference Transport Means 2018: Konferences materiāli, Traķi, Lietuva, 3.–5. oktobris 2018., 1334.–1341. lpp.
10. Beinaroviča A., Gorobecs M., Ļevčenkovs A. Convolutional Neural Networks of Active Railway Safety System with Braking Dynamics Prediction. Dynamics of Vehicles on Roads and Tracks: Proceedings of the 25th International Symposium on Dynamics of Vehicles on Roads and Tracks (IAVSD 2017): Konferences materiāli, Rokhemptona, Kvinslenda, Austrālija, 14.–18. augusts 2017., 953.–958. lpp.
11. Beinaroviča A., Gorobecs M., Ļevčenkovs A. Modeling and Simulation of Public Transport Safety and Scheduling Algorithm. 31st European Conference on Modelling and Simulation (ECMS 2017): Konferences materiāli, Budapešta, Ungārija, 23.–26. maijs 2017., 215.–221. lpp.

12. Beinaroviča A., Gorobecs M., Ļevčenkovs A. Convolutional Neural Network in Turn Recognition Tasks for Electric Transport Safety. 2017 IEEE 58th International Scientific Conference on Power and Electrical Engineering of Riga Technical University (RTUCON 2017): Konferences materiāli, Rīga, Latvija, 12.–13. oktobris 2017., 231.–236. lpp.
13. Beinaroviča A., Gorobecs M., Ļevčenkovs A. Innovative nauro-fuzzy system of smart transport infrastructure for road traffic safety. Building up Efficient and Sustainable Transport Infrastructure (BESTInfra 2017): Konferences materiāli, Prāga, Čehija, 21.–22. septembris 2017., 1.–8. lpp.
14. Alps I., Gorobecs M., Beinaroviča A., Ļevčenkovs A. Immune Algorithm and Intelligent Devices for Schedule Overlap Prevention in Electric Transport. 2016 57th International Scientific Conference on Power and Electrical Engineering of Riga Technical University (RTUCON 2016): Konferences materiāli, Rīga, Latvija, 13.–14. oktobris 2016., 191.–197. lpp.
15. Beinaroviča A., Gorobecs M., Ļevčenkovs A. Algorithm of Energy Efficiency Improvement for Intelligent Devices in Railway Transport. Electrical Control and Communication Engineering (ECCE journal): Žurnāla raksts, Rīga, Latvija, 2016., 29.–34. lpp.
16. Gorobecs M., Ribickis L., Alps I., Beinaroviča A. Patenta pieteikums “Bezpilotā transporta līdzekļa sadursmju novēršanas iekārtā ar pašapmācošo imūno atmiņu”.

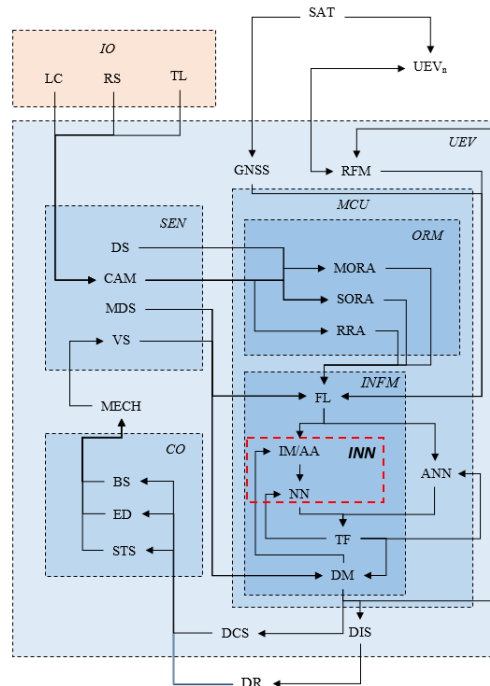
# Promocijas darba saturs

## Ievads

Promocijas darba ievadā sniegs industriālo un zinātnisko pētījumu pārskats par promocijas darba tēmu, kā arī novērtēta tēmas aktualitāte un zinātniskā novitāte, definēts mērkis un darba uzdevumi, sniegtā informācija par aprobāciju un lietojumu iespējām. Promocijas darba tēmai tuvākie darbi ir [19, 23], kuros tiek piedāvātas mākslīgā intelekta metodes – neuronu tīkls un imūna atmiņa. Atšķirībā no [19], šī promocijas darba galvenā ideja ir tāda, ka ievades dati tiek glabāti imūnā atmiņā kopā ar svariem, kas tika izmantoti iepriekš līdzīgas situācijas risināšanai, kas palīdz samazināt aprēķina laiku, kas ir ļoti svarīgi reāllaika sistēmām. Savukārt [23] aprakstīta metode nebija balstīta kvalitātes funkcijā, lai novērtētu risinājumus.

## 1. Elektriskā transporta drošības kontroles uzdevuma nostādne

Promocijas darba pirmā nodaļa veltīta centralizēto, decentralizēto un dalīto (angļu val. *distributed* [92]) sistēmu modeļu salīdzināšanai un jaunas sistēmas struktūras izstrādei, kas varētu palīdzēt piedāvāto sistēmu padarīt lētāku, ātrāku un vieglāk ieviešamu.

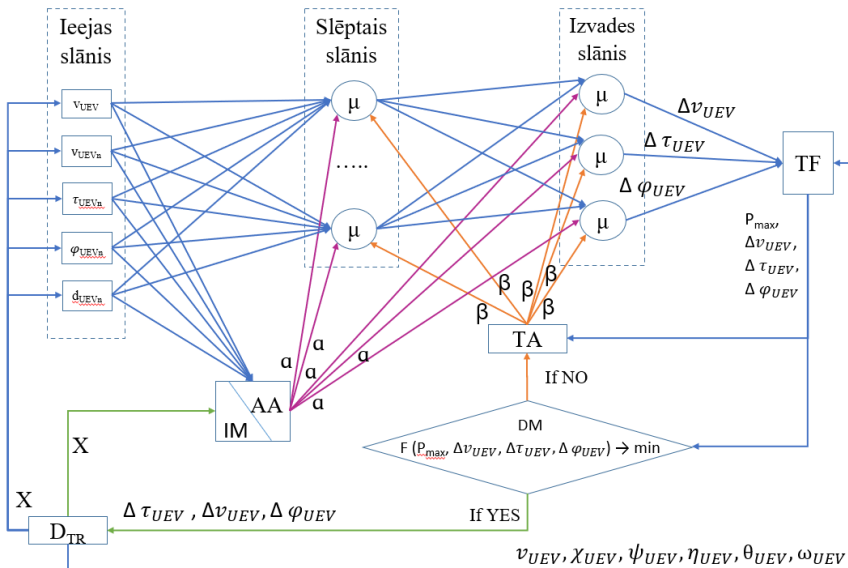


1.1. att. Dalītās sistēmas struktūras shēma ar samazinātu komponentu skaitu.

Salīdzinājuma rezultāti liecina, ka dalītā sistēma ir labāka nekā centralizēta vai decentralizēta. Dalītie modeļi ir vieglāk realizējami, tajos ir mazāk komponentu, tie ir lētāki

infrastruktūras īpašniekam un nav pieslēgti konkrētajai zonai, tiem ir arī samazināts reaģēšanas laiks un sistēmas atteices risks. Tāpēc šajā pētījumā tika izmantota dalītās sistēmas struktūra.

Dalītās sistēmas struktūra redzama 1.1. attēlā, kur: SAT – satelīts; *UEV* – bezpilotā elektrotransports; *UEVn* – citi bezpilotā transportlīdzēļi; *LC* – pārbrauktuves; *RS* – ceļazīmes; *TL* – luksofori; *GNSS–GNSS* uztvērējs; *RFM* – radiofrekvenču modulis; *DS* – attāluma sensors; *CAM* – videokamera; *MDS* – kustības virziena sensors; *VS* – ātruma sensors; *MORA* – kustīgu objektu atpazīšanas algoritms; *SORA* – statisko objektu atpazīšanas algoritms; *RRA* – ceļu atpazīšanas algoritms; *FL* – faziloģika (angļu val. *fuzzy logic* [92]); *IM* – imūnā atmiņa; *AA* – līdzības algoritms; *ANN* – tradicionālais neironu tīkls; *NN* – neironu tīkls kā *INN* sastāvdaļa; *INN* – imūno neironu tīkls; *TF* – mērķa funkcija; *DM* – lēmumu pieņemšanas modulis; *DIS* – autovadītāja informēšanas sistēma; *DCS* – autovadītāja kontroles sistēma; *BS* – elektriskā transportlīdzekļa bremžu sistēma; *ED* – transportlīdzekļa elektriskā piedziņa; *STS* – transportlīdzekļa elektriskā stūres sistēma; *MECH* – mehāniskā daļa; *IO* – infrastruktūras objekti; *CO* – kontroles objekti; *SEN* – sensori; *MIC* – mikrokontrolleris; *ORM* – objektu atpazīšanas modulis; *INFM* – imūna neironu faziloģikas modulis; *DR* – elektrotransporta vadītājs.



1.2. att. *UEV* imūno neironu tīkla sistēmas struktūra.

Dažādiem uzdevumiem tiek izmantotas dažādas piedāvātās sistēmas daļas. *ORM* objektu atpazīšanas modulis, kas balstīts konvolūcijas (angļu val. *convolutional* [92]) neironu tīklā (*CNN*), tiek izmantots kustīgu un statisku objektu atpazīšanas uzdevumiem, kā arī ceļu atpazīšanas uzdevumiem. *INFM* imūnā neirofaziloģikas modula pamatā ir jauns imūnais neironu tīkls (*INN*). *INFN* tiek izmantots sadursmes varbūtības nepārraudzītas (angļu val. *unsupervised* [92]) novērtēšanas un minimizēšanas uzdevumā. Mākslīgais neironu tīkls (*ANN*) ar faziloģiku tiek izmantots, lai novērtētu un samazinātu sadursmes iespējamību. Šajā pētījumā

*ANN* ir iekļauts, lai salīdzinātu tā rezultātus ar piedāvātā jaunā *INN* rezultātiem. Mērķis ir izpētīt un secināt, vai jaunais tīkls ir labāks vai sliktāks par tradicionālo.

Promocijas darbā izstrādātas un aprakstītas trīs apakšsistēmu struktūras: objektu atpazīšanas uzdevuma apakšsistēmas struktūra, pamatojoties uz tradicionālo *CNN*; apakšsistēmas struktūra elektrotransportlīdzekļu sadursmes varbūtības novērtēšanas un samazināšanas uzdevumam, pamatojoties uz tradicionālo *ANN*; jauna *INN* balstīta mašīnmācības tehnoloģija drošai bezpilotu transportlīdzekļa vadībai (1.2. att.). Tradicionālo neironu tīklu apraksts ir sniegs promocijas darba pilnā tekstā.

Jaunu *INN* balstītu tehnoloģiju var izmantot daļītās sistēmās. Tā iegūst datus, veic aprēķinus un sniedz nepieciešamos risinājumus, kā izvairīties no sadursmes viena konkrēta bezpilotu elektrotransporta (*UEV*) kontekstā. Tas nesniedz risinājumus citiem dalībniekiem.

**Ieejas dati (X).** Dati:  $v_{UEV}$  – sava *UEV* ātrums;  $v_{UEVn}$  – cita *UEV* ātrums;  $\tau_{UEVn}$  – cita *UEV* pārvietošanās virziens horizontālā plaknē attiecībā pret savu virzienu;  $\varphi_{UEVn}$  – cita *UEV* pārvietošanās virziens vertikālā plaknē attiecībā pret savu virzienu;  $d_{UEVn}$  – attālums līdz iespējamajam krustojuma punktam ar otru *UEV*. Parametru skaits ieejas datos (X) ir atkarīgs no situācijas – citu *UEV* skaita sava *UEV* kontroles zonā. Savam *UEV* ir viens ievades parametrs – ātrums. Citiem *UEV* ir četri ievades parametri: ātrums, pārvietošanās virziens horizontālā plaknē attiecībā pret savu *UEV*, pārvietošanās virziens vertikālā plaknē attiecībā pret savu *UEV* un attālums līdz iespējamajam krustojuma punktam. Dati tiek saņemti no *UEV* iegultās elektroniskās ierīces un nosūtīti uz imūnā neironu tīkla *INN* ieejas slāni.

**Ieejas slānis.** Ieejas slānis saņem ieejas datus (X). Katrs *UEV* nem vērā tikai tos *UEV*, kas atrodas viņa kontroles zonā, lai samazinātu nepieciešamo aprēķinu skaitu. Ieejas dati (X) tiek sakārtoti precīzākai situācijas atpazīšanai. Mērķis ir sakārtot vairākus *UEV* attiecībā pret savu *UEV*, lai labāk izprastu to atrašanās vietu un relatīvo kustību. *UEV* kārtošanai tiek izmantoti trīs parametri: pārvietošanās virziens horizontālā plaknē  $\tau_{UEVn}$ , pārvietošanās virziens vertikālā plaknē  $\varphi_{UEVn}$  un attālums līdz krustojumam  $d_{UEVn}$ . Pārējo *UEV* kārtošana tiek veikta pēc  $\tau_{UEVn}$  vērtības, sākot no  $0^\circ$ , pulksteņrādītāja virzienā. Ja vairākiem *UEV* ir vienāda  $\tau_{UEVn}$  vērtība, tad šo *UEV* sakārtošana tiek veikta pēc  $\varphi_{UEVn}$  vērtības, sākot no  $0^\circ$ , pulksteņrādītāja virzienā. Ja vairākiem *UEV* ir vienāda  $\varphi_{UEVn}$  vērtība, tad šo *UEV* sakārtošana tiek veikta atbilstoši attālumam līdz krustojumam ar šiem *UEV*  $d_{UEVn}$ . Šī metode palīdz precīzi aprakstīt situāciju. Ieejas dati (X) tiek nosūtīti no ieejas slāņa uz līdzības algoritmu *AA* un slēpto slāni.

**Līdzības algoritms (AA).** *AA* pārbauda visas līdzīgās situācijas, kas tiek glabātas *IM* un aprēķina nesakritības  $\mathcal{E}$ . Tieki izvēlēta situācija ar mazāko nesakritību  $\mathcal{E}$ , un tās numurs  $\alpha$  tiek nosūtīts visiem *INN*  $\mu$  neironiem. Ja *IM* nav saglabāta līdzīga situācija, tad situācijas numurs  $\alpha = 0$  tiek nosūtīts uz  $\mu$  neironiem.

**Imūnā atmiņa (IM).** Datubāze, kas ietver ieejas datus par iepriekšējām atrisinātajām situācijām. Katrai situācijai ir siks numurs  $\alpha$ . Visi *IM* dati tiek glabāti klasteros (angļu val. *cluster* [92]), lai atvieglotu un paātrinātu sakritības atrašanas procesus. Piemēram, ja iespējamās sadursmes situācijā piedalās trīs transportlīdzekļi, situāciju grupā ar diviem dalībniekiem līdzīga situācija nav jāatrod. Klasterizācijas metode tiek izmantota datu glabāšanai *IM* un ātrākam *AA* darbam.

**Slēptais slānis.** Slēptais slānis sastāv no specializētiem  $\mu$  neironiem. Katra slēptā slāņa  $\mu$  neirona ievades dati ir: ieejas dati ( $X$ ); situācijas numurs  $\alpha$ , kas saņemts no  $AA$ ; signāls  $\beta$ , kas norāda par nepieciešamību pārrēķināt  $\mu$  neironu svarus un tiek saņemts no apmācības algoritma  $TA$ .  $\mu$  neironos situācijas numurs  $\alpha$  tiek glabāts kopā ar svaru kopu  $W_\mu$ , kas tika izmantoti, risinot līdzīgu problēmu, t. i., apstrādājot līdzīgus ieejas datus. Pēc situācijas numura  $\alpha$  saņemšanas tiek izvēlēti svari  $W_\mu$  un var sākt apmācību. Ja līdzīgas situācijas nav un  $\alpha = 0$ , tad  $W_\mu = 0$ .

**Izvades slānis.** Izvades slānis sastāv no specializētiem  $\mu$  neironiem. Katra izvades slāņa  $\mu$  neirona ieejas dati ir: slēptā slāņa  $\mu$  neironu izejas dati; situācijas numurs  $\alpha$ , kas saņemts no  $AA$ ; signāls  $\beta$ , kas norāda par nepieciešamību pārrēķināt  $\mu$  neironu svarus un tiek saņemts no  $TA$ .  $\mu$  neironos situācijas numurs  $\alpha$  tiek glabāts kopā ar svaru kopu  $W_\mu$ , kas tika izmantoti, risinot līdzīgu problēmu, līdzīgi kā slēptā slāņa  $\mu$  neironā. Pēc situācijas numura  $\alpha$  saņemšanas tiek izvēlēti svari  $W_\mu$  un var sākt treniņu. Ja līdzīgas situācijas nav un  $\alpha = 0$ , tad  $W_\mu = 0$ . Izvades slāņa izejas dati: sava  $UEV$  nepieciešamā pārvietošanās virziena horizontālā plaknē maiņa  $\Delta\tau_{UEV}$ ; sava  $UEV$  nepieciešamā pārvietošanās virziena vertikālā plaknē maiņa  $\Delta\phi_{UEV}$ ; sava  $UEV$  nepieciešamā ātruma maiņa  $\Delta v_{UEV}$ .

**Mērķa funkcija (TF).**  $TF$  ieejas dati: sava  $UEV$  nepieciešamā horizontālās kustības virziena maiņa  $\Delta\tau_{UEV}$ ; sava  $UEV$  nepieciešamā vertikālās kustības virziena maiņa  $\Delta\phi_{UEV}$ ; sava  $UEV$  nepieciešamā ātruma maiņa  $\Delta v_{UEV}$ ; ievades dati, kas iegūti tieši no  $UEV$  iegultās elektroniskās ierīces ( $v_{UEV} - UEV$  pašreizējais ātrums;  $\chi_{UEV} - UEV$  pašreizējās atrašanās vietas ģeogrāfiskais platoms;  $\psi_{UEV} - UEV$  pašreizējās atrašanās vietas ģeogrāfiskais garums;  $\eta_{UEV} - UEV$  pašreizējās atrašanās vietas augstums virs jūras līmeņa;  $\theta_{UEV} - UEV$  orpēšanas leņķis (angļu val. *yaw angle* [92]);  $\omega_{UEV} - UEV$  – transversālais leņķis (angļu val. *pitch angle* [92])). Pašreizējos pētījumos krustojuma punkta atrašanās vieta ir mainīga vērtība, kas padara risinājumu sarežģītāku, jo atrastais risinājums  $< \Delta v_{UEV}, \Delta\tau_{UEV}, \Delta\phi_{UEV} >$  ietekmē attālums līdz krustojumam. Tādējādi, lai veiktu novērtējumu,  $TF$  ir nepieciešami papildu ieejas dati  $< v_{UEV}, \chi_{UEV}, \psi_{UEV}, \eta_{UEV}, \theta_{UEV}, \omega_{UEV} >$ , kas iegūti tieši no  $UEV$ , lai pārrēķinātu krustojuma vietu, attālumu un laiku līdz tam.  $TF$  aprēķina sadursmes varbūtību  $P_{max}$ .  $TF$  izejas dati: sadursmes varbūtība  $P_{max}$ ; nepieciešamā horizontālās kustības virziena maiņa  $\Delta\tau_{UEV}$ ; nepieciešamā vertikālās kustības virziena maiņa  $\Delta\phi_{UEV}$ ; nepieciešamā ātruma maiņa  $\Delta v_{UEV}$ .

**Lēmuma modulis (DM).**  $DM$  ieejas dati: sadursmes varbūtība  $P_{max}$ , kas saņemta no  $TF$ ; nepieciešamā horizontālā kustības virziena maiņa  $\Delta\tau_{UEV}$ , kas saņemta no  $TF$ ; nepieciešamā vertikālā kustības virziena maiņa  $\Delta\phi_{UEV}$ , kas saņemta no  $TF$ ; nepieciešamā ātruma maiņa  $\Delta v_{UEV}$ , kas saņemta no  $TF$ .  $DM$  izvērtē atrasto risinājumu. Ja sadursmes varbūtība  $P_{max}$  ir lielāka par pieņemamo (drošo) sadursmes varbūtību  $P_{safe}$ , tad tiek pārbaudīts apmācības iterāciju skaits  $t$ . Ja apmācības iterāciju skaits  $t$  ir mazāks par maksimāli iespējamo iterāciju skaitu  $T_{max}$ , tas nozīmē, ka risinājums vēl nav atrasts un apmācība ir jāatkārto.  $DM$  nosūta signālu apmācības algoritmam ( $TA$ ). Ja apmācības iterāciju skaits  $t$  ir lielāks vai vienāds ar maksimālo iespējamo iterāciju skaitu  $T_{max}$ , tas nozīmē, ka situāciju noteiktajā laikā nevar atrisināt, tāpēc tiek veikta ātruma samazināšana.  $DM$  nosūta signālu uz  $UEV$  iegulto elektronisko ierīci, lai apturētu  $UEV$   $v_{UEV} = 0$ . Ja sadursmes varbūtība  $P_{max}$  ir mazāka vai vienāda ar pieņemamu (drošu) sadursmes

varbūtību  $P_{\text{safe}}$ , tad atrastais risinājums  $\langle \Delta v_{UEV}, \Delta \tau_{UEV}, \Delta \varphi_{UEV} \rangle$  tiek nosūtīts uz  $UEV$  iegulto elektronisko ierīci. Tieki aprēķināta sakritības kļūda  $\varepsilon_a$  starp pašreizējo situāciju un situāciju, kas izvēlēta no  $IM$  apmācības sākumā. Ja sakritības kļūda  $\varepsilon_a$  ir lielāka par maksimāli iespējamo sakritības kļūdu  $\varepsilon_{lim}$ , kas atbild par jauna ieraksta izveidi  $IM$  vai esošā aizstāšanu, tad  $IM$  saglabā situāciju kā jaunu ierakstu un katrs slēptā un izvades slāņa  $\mu$  neirons saglabā svaru kopu  $W_\mu$ , kas tika izmantots šīs situācijas risināšanai kopā ar šīs situācijas numuru  $a$ . Ja sakritības kļūda  $\varepsilon_a$  ir mazāka vai vienāda ar maksimāli iespējamo sakritības kļūdu  $\varepsilon_{lim}$ , tad situācijas  $a$  ieraksts tiek atjaunināts  $IM$  un slēptā un izvades slāņa  $\mu$  neironu svaru  $W_\mu$  vērtības tiek atjauninātas atbilstoši pēdējām izmantotajām.

**Apmācības algoritms (TA).**  $TA$  ieejas dati: sadursmes varbūtība  $P_{\text{max}}$ , kas saņemta no  $TF$ ; nepieciešamā horizontālās kustības virziena maiņa  $\Delta \tau_{UEV}$ , kas saņemta no  $TF$ ; nepieciešamā vertikālās kustības virziena maiņa  $\Delta \varphi_{UEV}$ , kas saņemta no  $TF$ ; signāls atkārtot apmācību  $\beta$ , kas saņemts no  $DM$ . Tradicionālā atpakaļizplatīšanas (angļu val. *backpropagation* [92]) algoritma vietā tiek izmantots apmācības algoritms. Atpakaļizplatīšana parasti tiek izmantota pārraudzītā apmācībā, bet piedāvātais jaunais  $INN$  ir balstīts nepārraudzītās mācīšanās procesā.  $TA$  saglabā pēdējo  $P_{\text{max}}$  vērtību, kas tika saņemta, risinot šo situāciju, un salīdzina šo vērtību ar jauno.  $TA$  nosūta signālu  $\beta$  uz visiem  $\mu$  neuroniem, tas nozīmē, ka apmācība ir jāatkārto. Signāls  $\beta$  atšķiras atkarībā no  $P_{\text{max}}$  salīdzinājuma rezultāta. Ja tā ir pirmā apmācības iterācija,  $TA$  nav informācijas par iepriekšējo  $P_{\text{max}}$ , tāpēc  $TA$  nosūta signālu  $\beta_1$  visiem slēptā un izvades slāņa  $\mu$  neuroniem. Signāls  $\beta_1$  nozīmē, ka atrastais risinājums situāciju neatrisina un apmācība ir jāturpina. Tas pats notiek, ja atrastā risinājuma rezultāts ir labāks vai vienāds ar iepriekšējo  $P_{max2} \leq P_{max1}$ .  $TA$  nosūta signālu  $\beta_1$  visiem slēptā un izvades slāņa  $\mu$  neuroniem, kas nozīmē, ka atrastais risinājums nav sliktāks par iepriekšējo un apmācību jāturpina. Ja atrastā risinājuma rezultāts ir sliktāks par iepriekšējo  $P_{max2} > P_{max1}$ , tad  $TA$  nosūta signālu  $\beta_2$  visiem slēptā un izvades slāņa  $\mu$  neuroniem. Signāls  $\beta_2$  nozīmē, ka atrastais risinājums situāciju neatrisina un pēdējās iterācijas rezultāts ir sliktāks nekā iepriekšējās. Pirms apmācības turpināšanas ir jāatgriež iepriekšējās svaru vērtības.

**$\mu$  neuronu apmācība.** Saņemot  $\beta_1$ , tiek nejauši izvēlētas jaunas svaru vērtības  $W_{\mu j}$  no diapazona ( $W_{\mu j} - z \leq W_{\mu j+1} \leq W_{\mu j} + z$ ), kur  $z$  ir iepriekš definēts diapazona parametrs (var būt regulējams). Saņemot  $\beta_2$ , tiek atgrieztas iepriekšējās vērtības  $W_{\mu j-1}$ , un pēc tam jaunas svaru vērtības  $W_{\mu j}$  tiek nejauši izvēlētas no diapazona ( $W_{\mu j-1} - z \leq W_{\mu j} \leq W_{\mu j-1} + z$ ), kur  $z$  ir iepriekš definēts diapazona parametrs (var būt regulējams).

## 2. Izstrādātie matemātiskie modeļi

Promocijas darba otrajā nodaļā aprakstīti piedāvātie matemātiskie modeļi.

**Sistēmas objektu matemātiskās kopas.** Elektrotransportlīdzekļa vadības sistēmu definē šādas objektu klases:  $UEVS = \{IO; SAT; UEV; DR\}$ , kur:  $UEVS$  – bezpilota elektrotransporta sistēmas struktūra;  $IO$  – infrastruktūras objekti;  $SAT$  – satelīts, komponents, lai iegūtu elektrotransporta atrašanās vietas koordinātas reāllaikā;  $UEV$  – bezpilota elektrotransports;  $DR$  – elektrotransporta vadītājs. Infrastruktūras objekti:  $IO = \{LC; RS; TL\}$ , kur:  $LC$  –

pārbrauktuves;  $RS$  – ceļazīmes;  $TL$  – luksofori. Pārbrauktuvju kopa:  $LC = \{LC_1; LC_2; \dots; LC_n\}$ . Ceļazīmu kopa:  $RS = \{RS_1; RS_2; \dots; RS_n\}$ . Luksoforu kopa:  $TL = \{TL_1; TL_2; \dots; TL_n\}$ . Satelītu kopa:  $SAT = \{SAT_1; SAT_2; \dots; SAT_n\}$ . Bezpilota elektrotransportlīdzekļu kopa:  $UEV = \{UEV_1; UEV_2; \dots; UEV_n\}$ . Elektrotransportlīdzekļu vadītāju kopa:  $DR = \{DR_1; DR_2; \dots; DR_n\}$ .  $UEV$  sastāv no:  $UEV = \{SEN; GNSSR; RFM; ORM; INFN; DIS; DCS; CO; MECH\}$ , kur:  $SEN$  – sensori ieejas datu iegūšanai;  $GNSSR$ – $GNSS$  signāla uztvērējs, lai iegūtu  $DATA_{GNSS}$ ;  $RFM$  – radiofrekvenču modulis  $DATA_{RFM}$  iegūšanai;  $ORM$  – objektu atpazīšanas modulis;  $INFN$  – imūna neironu faziloģikas modulis;  $DIS$  – autovadītāja informēšanas sistēma;  $DCS$  – autovadītāja kontroles sistēma;  $CO$  – elektrotransportlīdzekļa vadības sistēma;  $MECH$  – elektrotransportlīdzekļa mehāniskā daļa. Sensoru kopa:  $SEN = \{DS; CAM; MDS; VS\}$ , kur:  $DS$  – attāluma sensors  $DATA_{DS}$  iegūšanai;  $CAM$  – videokamera, lai iegūtu  $DATA_{CAM}$ ;  $MDS$  – kustības virziena sensors, lai iegūtu  $DATA_{MDS}$ ;  $VS$  – ātruma sensors, lai iegūtu  $DATA_{VS}$ . Datu, kas iegūti ar  $GNSS$  uztvērēju:  $DATA_{GNSS} = \{\eta_{tr}; \chi_{tr}; \psi_{tr}\}$ , kur:  $\eta_{tr}$  – sava  $UEV$  atrašanās vietas augstums virs jūras līmeņa  $\eta\eta$ ;  $\chi_{tr}$  – sava  $UEV$  atrašanās vietas ģeogrāfiskais platoms  $\chi\chi$ ;  $\psi_{tr}$  – sava  $UEV$  atrašanās vietas ģeogrāfiskais garums  $\psi\psi$ . Datu, kas iegūti ar  $RFM$ :  $DATA_{RFM} = \{\eta_{trn}; \chi_{trn}; \psi_{trn}; \theta_{trn}; \omega_{trn}; v_{trn}\}$ , kur:  $\eta_{trn}$  – citu  $UEV$  atrašanās vietas augstums virs jūras līmeņa  $\eta\eta$ ;  $\chi_{trn}$  – citu  $UEV$  atrašanās vietas ģeogrāfiskais platoms  $\chi\chi$ ;  $\psi_{trn}$  – citu  $UEV$  atrašanās vietas ģeogrāfiskais garums  $\psi\psi$ ;  $\theta_{trn}$  – citu  $UEV$  orpēšanas leņķis;  $\omega_{trn}$  – citu  $UEV$  transversālais leņķis;  $v_{trn}$  – cita  $UEV$  ātrums. Datu, kas iegūti ar  $DS$ :  $DATA_{DS} = \{d_{tr}\}$ , kur:  $d_{tr}$  – attālums līdz objektam. Datu, kas iegūti ar videokameru:  $DATA_{CAM} = \{RGB; XY\}$ , kur:  $RGB$  – pikselu kods “sarkans, zaļš, zils”;  $XY$  – pikselā pozīcija. Datu, kas iegūti, izmantojot  $MDS$ :  $DATA_{MDS} = \{\theta_{tr}; \omega_{tr}\}$ , kur:  $\theta_{tr}$  –  $UEV$  orpēšanas leņķis;  $\omega_{tr}$  –  $UEV$  transversālais leņķis.  $VS$  iegūtie dati:  $DATA_{VS} = \{v_{tr}\}$ , kur:  $v_{tr}$  –  $UEV$  ātrums. Objektu atpazīšanas modulis sastāv no:  $ORM = \{MORA; SORA; RRA\}$ , kur:  $MORA$  – kustīgu objektu atpazīšanas algoritms;  $SORA$  – statisko objektu atpazīšanas algoritms;  $RRA$  – ceļu atpazīšanas algoritms.  $MORA$  sastāv no:  $MORA = \{DATA_{DS}; DATA_{CAM}; CNN\}$ , kur:  $DATA_{DS}$  – dati, kas iegūti ar attāluma sensoru;  $DATA_{CAM}$  – dati, kas uzņemti ar videokameru;  $CNN$  – konvolūcijas neironu tīkls.  $SORA$  sastāv no:  $SORA = \{DATA_{DS}; DATA_{CAM}; CNN\}$ , kur:  $DATA_{DS}$  – dati, kas iegūti ar attāluma sensoru;  $DATA_{CAM}$  – dati, kas uzņemti ar videokameru;  $CNN$  – konvolūcijas neironu tīkls.  $RRA$  sastāv no:  $RRA = \{DATA_{CAM}; CNN\}$ , kur:  $DATA_{CAM}$  – dati, kas uzņemti ar videokameru;  $CNN$  – konvolūcijas neironu tīkls.  $CNN$  sastāv no:  $CNN = \{CONV_{CNN}; POOL_{CNN}; FC_{CNN}\}$ , kur:  $CONV_{CNN}$  –  $CNN$  konvolūcijas slānis;  $POOL_{CNN}$  –  $CNN$  apvienošanas slānis (angļu val. *pooling* [92]);  $FC_{CNN}$  –  $CNN$  pilnsaistes slānis (angļu val. *fully connected layer* [92]).  $CONV_{CNN}$  sastāv no:  $CONV_{CNN} = \{K_{CNN}; F_{CNN}; S_{CNN}; P_{CNN}\}$ , kur:  $K_{CNN}$  –  $CNN$  filtru skaits;  $F_{CNN}$  –  $CNN$  filtru telpiskais lielums;  $S_{CNN}$  – solis;  $P_{CNN}$  – nulto papildinājumu skaits.  $POOL_{CNN}$  sastāv no:  $POOL_{CNN} = \{F_{CNN}; S_{CNN}\}$ , kur:  $F_{CNN}$  –  $CNN$  filtru telpiskais lielums;  $S_{CNN}$  – solis.  $FC_{CNN}$  sastāv no:  $FC_{CNN} = \{HID_{CNN}; CL_{CNN}\}$ , kur:  $HID_{CNN}$  –  $CNN$  slēptais slānis;  $CL_{CNN}$  – izvades klašu skaits. Imūnais neirofaziloģikas tīkls sastāv no šādiem elementiem:  $INFN = \{FL; IM; AA; NN; TF; DM\}$ , kur:  $FL$  – faziloģika;  $IM$  – imūnā atmiņa;  $AA$  – līdzības algoritms;  $NN$  – neironu tīkls;  $TF$  – mērķa funkcija;  $DM$  – lēmumu

pieņemšanas algoritms. Vadības objekti sastāv no:  $CO = \{BS; ED; STS\}$ , kur:  $BS$  – bremžu sistēma;  $ED$  – elektriskā piedziņa;  $STS$  – vadības iekārta (angļu val. *steering system* [92]).

**Matemātiskais modelis luksofora sarkanā signāla atpazīšanas uzdevumam.** Šis matemātiskais modelis tika izstrādāts, lai atšķirtu sarkanās krāsas signālu no citu krāsu signāliem. Tieki pieņemts, ka  $UEV$  automātiski samazinās ātrumu līdz 0 km/h, kad tiek noteikta sarkanā krāsa. Šī metode ir būtiska, lai nodrošinātu elektrotransportlīdzekļu drošību. Modeļa apraksts – promocijas darba otrajā nodaļā.

**Matemātiskais modelis objektu atpazīšanas uzdevumam.** Piedāvātā sistēmas struktūra darbojas šādi:  $CAM$  videokamera uztver datus par citiem objektiem ( $LC$  – pārbrauktuves,  $RS$  – ceļazīmes,  $TL$  – luksofori,  $UEVn$  – citi  $UEV$ ). Pēc šo datu nosūtīšanas uz  $ORM$  objektu atpazīšanas moduli, kur atkarībā no objekta veida objekts tiek atpazīts ar  $MORA$  kustīgu objektu atpazīšanas algoritmu,  $SORA$  statisko objektu atpazīšanas algoritmu vai  $RRA$  ceļu atpazīšanas algoritmu.

Konvolūcijas slānis  $CONV_{CNN}$  aprēķina neironu n izvadi. Katrs neirons n aprēķina skalāru reizinājumu starp savu svaru  $W$  un nelielu reģionu, ar kuru tas ir savienots ievades tilpumā. Konvolūcijas slāņa  $CONV_{CNN}$  parametri sastāv no apgūstamo filtru kopas  $F_{CNN}$ . Šim slānim nepieciešami četri hiperparametri:  $K_{CNN}$  – filtru skaits;  $F_{CNN}$  – filtra telpiskais lielums;  $S_{CNN}$  – solis;  $P_{CNN}$  – nulto papildinājumu skaits. Apvienošanas slāņa  $POOL_{CNN}$  funkcijas ir: pakāpeniski samazināt attēlojuma telpisko izmēru, samazināt parametru un aprēķinu apjomu tīklā, tādējādi arī kontrolēt pārmērīgu pielāgošanu. Šim slānim nepieciešami divi hiperparametri:  $F_{CNN}$  – filtra telpiskais lielums;  $S_{CNN}$  – solis. Pilnsaistes slānis  $FC_{CNN}$  aprēķina klases rādītājus. Katrs neirons n šajā slānī būs savienots ar visiem skaitļiem iepriekšējā sējumā kā parastajā  $NN$ . Šim slānim ir nepieciešami divi hiperparametri:  $HID_{CNN}$  — slēpta slāņa neironu skaits;  $CL_{CNN}$  — izvades klašu skaits.

$CNN$  vispārējā struktūra: INPUT  $[W_{CNN0} \times H_{CNN0} \times D_{CNN0}] \rightarrow CONV_{CNN1} [K_{CNN1}, F_{CNN1}, P_{CNN1}, S_{CNN1}] = OUT_{CNN} [W_{CNN11} = (W_{CNN0} - F_{CNN} + 2P_{CNN}) / S_{CNN} + 1 \times H_{CNN11} = (H_{CNN0} - F_{CNN} + 2P_{CNN}) / S_{CNN} + 1] \times H_{CNN11} \times K_{CNN1} > D_{CNN0}, K_{CNN1} / D_{CNN0} = \text{int}] \rightarrow POOL_{CNN1} [F_{CNNP_{CNN1}}, S_{CNNP_{CNN1}}] = OUT_{CNN} [W_{CNN12} = W_{CNN11} / F_{CNNP_{CNN1}} \times H_{CNN12} = H_{CNN11} / F_{CNNP_{CNN1}} \times K_{CNN1}] \rightarrow \dots CONV_{CNNn} [K_{CNNn}, F_{CNNn}_{CNNn}, P_{CNNn}, S_{CNNn}_{CNNn}] = OUT_{CNN} [W_{CNNn1} \times H_{CNNn1} \times K_{CNNn1}] \rightarrow POOL_{CNNn} [F_{CNNP_{CNNn}}, S_{CNNP_{CNNn}}] = OUT_{CNN} [W_{CNNn2} = W_{CNN2} / F_{CNNP_{CNNn}} \times H_{CNNn2} = H_{CNN2} / F_{CNNP_{CNNn}} \times K_{CNNn1}] \rightarrow FC_{CNN} [HID_{CNN}, CL_{CNN}] = OUT_{CNN} [1 \times CL_{CNN}]$ .

**Matemātiskais modelis krustojuma punkta noteikšanas un sadursmes varbūtības novērtēšanas uzdevumam.** Ieejas dati:  $LFn$  –  $UEV$  kreisā priekšējā leņķa koordinātas;  $RFn$  –  $UEV$  labā priekšējā leņķa koordinātas;  $LRn$  –  $UEV$  kreisā aizmugures leņķa koordinātas;  $RRn$  –  $UEV$  labā aizmugurējā leņķa koordinātas;  $Vn$  –  $UEV$  ātrums;  $Tn$  –  $UEV$  kustības trajektorija;  $Ln$  –  $UEV$  garums. Modelis uzzina, vai  $UEV$  atrodas kontroles zonā, pēc visu ieejas datu saņemšanas. Tieki pieņemts, ka 2. objekts atrodas 1. objekta kontroles zonā tikai tad, ja 2. objekts atrodas 1. objekta priekšā vai tajā pašā līmenī. Ja 2. objekts atrodas 1. objekta kontroles zonā, tad tiek veikti aprēķini, pretējā gadījumā aprēķini nav nepieciešami. Ir zināmas transportlīdzekļu kreisā un labā leņķa koordinātas, tāpēc var definēt  $UEV$  kreisās un labās pusēs taisnes formulas, kā arī šo līmiju krustošanās vietas.

Nākamais solis ir noteikt minimālo un maksimālo attālumu līdz iespējamai krustojuma vietai. Minimālo attālumu līdz krustojumam aprēķina šādi: 1. objektam – šķērsošanas punkta koordinātas ( $R1; L2$ ) mīnus 1. transportlīdzekļa labā priekšējā leņķa koordinātas mīnus puse no 1. transportlīdzekļa garuma:  $Dist1min = (R1; L2) - (RF1) - (L1/2)$ . 2. objektam – krustojuma punkta koordinātas ( $R1; L2$ ) mīnus 2. transportlīdzekļa kreisā priekšējā leņķa koordinātas mīnus puse no 2. transportlīdzekļa garuma:  $Dist2min = (R1; L2) - (LF2) - (L2/2)$ . Maksimālo attālumu līdz krustojumam aprēķina šādi: 1. objektam – krustojuma punkta koordinātas ( $L1; R2$ ) mīnus 1. transportlīdzekļa kreisā priekšējā leņķa koordinātas plus puse no 1. transportlīdzekļa garuma:  $Dist1max = (L1; R2) - (LF1) + (L1/2)$ . 2. objektam – krustojuma punkta koordinātas ( $L1; R2$ ) mīnus 2. transportlīdzekļa labā priekšējā leņķa koordinātas plus puse no 2. transportlīdzekļa garuma:  $Dist2max = (L1; R2) - (RF2) + (L2/2)$ .

Pēc attālumu aprēķināšanas abiem objektiem tiek aprēķināts minimālais un maksimālais laiks līdz krustojumam:  $Timenmin = Distnmin / Vn$ ;  $Timenmax = Distnmax / Vn$ .

Piedāvātais *UEV* sadursmes varbūtības aprēķina algoritms, kas balstīts pamata sadursmes varbūtības un ievainojamības analīzē (angļu val. *vulnerability analysis* [92]) [64], ir pieejams pilnā promocijas darba tekstā.

**Neironu tīkla matemātiskais modelis.** Matemātiskais modelis ietver šādas datu kopas:  $U \subset (U_1, \dots, U_n)$  – transporta vienību kopa kā dažādu tipu apakškopas, dažādiem transporta drošības uzdevumiem tā varētu būt:  $U^1 = (U_1^1, \dots, U_{n1}^1)$  – dzelzceļa transporta apakškopa;  $U^2 = (U_1^2, \dots, U_{n2}^2)$  – autotransporta apakškopa;  $U^3 = (U_1^3, \dots, U_{n3}^3)$  – gaisa transportlīdzekļu kopa u.c.  $P = (p_1, p_2, \dots, p_c)$  – infrastruktūras objektu kopa, kur notiek *UEV* sadursme, piemēram, dzelzceļa transportam tās varētu būt pārbrauktuves, pārmijas utt. Šim pētījumam šķērsojuma posms tiek pieņemts kā ūss taisns maršruta vai trajektorijas posms.

Visu iespējamo maršrutu vai transporta vienību trajektoriju krustojuma ģeogrāfiskās koordinātas nosaka šīs kopas:  $\chi_b^p = \{\chi_b^{p1}, \chi_b^{p2}, \dots, \chi_b^{pc}\}$ ,  $\psi_b^p = \{\psi_b^{p1}, \psi_b^{p2}, \dots, \psi_b^{pc}\}$ ;  $\chi_e^p = \{\chi_e^{p1}, \chi_e^{p2}, \dots, \chi_e^{pc}\}$ ,  $\psi_e^p = \{\psi_e^{p1}, \psi_e^{p2}, \dots, \psi_e^{pc}\}$ , kur:  $\chi_b^{pi}$  – krustojuma sektora sākuma punkta ģeogrāfiskais platumis;  $\psi_b^{pi}$  – krustojuma sektora sākuma punkta ģeogrāfiskais garums;  $\chi_e^{pi}$  – krustojuma sektora beigu punkta ģeogrāfiskais platumis;  $\psi_e^{pi}$  – krustojuma sektora beigu punkta ģeogrāfiskais garums;  $c$  – krustojumu punktu daudzums kustības trajektorijā.

Nav informācijas, vai izvades vērtība ir pareiza vai nē, tāpēc nav iespējams izmantot kļūdu atpakaļizplatīšanās algoritmu. Neironu tīkla apmācībai tika izstrādāts pašstrenēšanās algoritms un mērķa funkcija.

Optimizācijas funkciju nosaka divi kritēriji: sadursmes iespēja  $P$  ar mērķi minimizēt; transportlīdzekļu ātruma  $\Sigma\Delta v_i$  izmaiņas ar mērķi minimizēt. Pirmais kritērijs ir saistīts ar drošību. Par bīstamu uzskatāma situāciju, ja divu transportlīdzekļu trajektorijām ir kopīgs krustojuma punkts un pastāv iespēja, ka transportlīdzekļi to trajektoriju krustpunktā ieradīsies vienlaikus. Otrs kritērijs ir saistīts ar transporta satiksmes specifiskajām iezīmēm, piemēram, atiešanas un pienākšanas laikiem. Tāpēc šāda veida transportlīdzekļiem ir nepieciešams veikt minimālas ātruma izmaiņas.

Pamatojoties uz individuālajiem svērtajiem kritērijiem, tika izstrādāta mērķa funkcija:

$$F(\Delta v) = \begin{cases} P = \max(P_{IJ}) \rightarrow \min \\ \sum \Delta v_i \rightarrow \min \end{cases}, \text{ kur: } \Delta v - UEV \text{ ātruma maiņa; } P - \text{sadursmes varbūtība; } P_{IJ} - \text{katra } i\text{-tā } UEV \text{ sadursmes iespēja ar katru } j\text{-to } UEV; \Delta v_i - i\text{-tā } UEV \text{ ātruma maiņa.}$$

**Imūnā neironu tikla matemātiskais modelis.** Pēc sadursmes varbūtības noteikšanas INFM imūna neironu fazilogikas modulis aprēķina nepieciešamo  $UEV$  kustības parametru maiņu sadursmes varbūtības samazināšanas uzdevumam, izmantojot imūno neironu tiklu  $INN$ .

Katrs  $UEV$  analizē situāciju pats. Tieki konstatēti  $UEV$  kontroles zonā. Šie  $UEV$  tiek sakārtoti, lai precīzāk definētu situāciju.  $UEV$  kārtošanai tiek izmantoti trīs parametri: pārvietošanās virziens horizontālā plaknē  $\tau_{UEVn}$ , pārvietošanās virziens vertikālā plaknē  $\varphi_{UEVn}$  un attālums līdz krustojumam  $d_{UEVn}$ . Pārējo  $UEV$  kārtošana tiek veikta pēc  $\tau_{UEVn}$  vērtības, sākot no  $0^\circ$ , pulksteņrādītāja virzienā. Ja vairākiem  $UEV$  ir vienāda  $\tau_{UEVn}$  vērtība, tad šo  $UEV$  sakārtošana tiek veikta pēc  $\varphi_{UEVn}$  vērtības, sākot no  $0^\circ$ , pulksteņrādītāja virzienā. Ja vairākiem  $UEV$  ir vienāda  $\varphi_{UEVn}$  vērtība, tad šo  $UEV$  sakārtošana tiek veikta atbilstoši attālumam līdz krustojumam ar šiem  $UEV d_{UEVn}$ .

$INN$  apmācības process ir atkarīgs no esošās situācijas  $s_j$ , kas tiek atrisināta. Pašreizējā situācija katram situācijas dalībniekam ir atšķirīga, jo katrs  $UEV$  nosaka atšķirīgu  $UEV$  kārtošanu atbilstoši savai pozīcijai. Situāciju kopa, kas saglabāta imūnatmiņā  $IM$ , ir šāda:  $S = \{s_1, s_2, \dots, s_m\}$ .

$IM$  netiek saglabātas identiskas situācijas verifikācijas dēļ, kas nosaka, vai tā ir tā pati situācija, vai arī – jauna situācija. Ja situācija ir tā pati, šīs situācijas datus var atjaunināt. Ja tā ir jauna situācija,  $IM$  tiek veikts jauns situācijas ieraksts.

Katra situācija  $s_j$  ietver ieejas datus  $X_j$  un dalībnieku skaitu  $n_j$ . Klasterizācijas metode tiek izmantota datu glabāšanai  $IM$  un ātrākam  $AA$  darbam. Situācija  $s_j$ :  $s_j = \langle X_j \rangle$ ,  $S_k \subseteq S, s_j \in S_k, |s_j| = |X_j|$ , kur:  $X_j$  – ieejas dati;  $S_k$  – ir visu  $IM$  saglabāto situāciju apakškopa, kas ietver tikai tās situācijas, kur situācijas  $s_j$  ieejas datu  $X_j$  daudzums ir tāds pats, kāds ir dotās situācijas ieejas datu  $X$  daudzums.

Piedāvāto  $INN$  var veidot no viena vai vairākiem slāņiem atkarībā no uzdevuma. Šajā pētījumā  $INN$  sastāv no ieejas slāņa, viena slēptā slāņa un izvades slāņa.

Ieejas slānis sastāv no ieejas datiem  $X$ , kas apraksta situāciju. Situāciju  $n$   $UEV$  var aprakstīt ar šādu apakškopu:  $X = (v_0, v_1, \tau_1, \varphi_1, d_1, \dots, v_n, \tau_n, \varphi_n, d_n) = (x_0, x_1, x_2, x_3, x_4, \dots, x_{4n-3}, x_{4n-2}, x_{4n-1}, x_{4n})$ , kur:  $n$  –  $UEV$  skaits,  $n = 0$  – savs  $UEV$ ,  $n > 0$  – citi  $UEV$ ;  $v_n, x_{4n-3} – n$ -tā  $UEV$  ātrums;  $\tau_n, x_{4n-2}$  –  $n$ -ta  $UEV$  pārvietošanās virziens horizontālā plaknē. Cita  $UEV$  pārvietošanās virziens ( $n > 0$ ) attiecībā pret sava  $UEV(n=0)$  virzenu,  $\tau_0 = 0$ ;  $\varphi_n, x_{4n-1}$  –  $n$ -ta  $UEV$  pārvietošanās virziens vertikālā plaknē. Cita  $UEV$  pārvietošanās virziens ( $n > 0$ ) attiecībā pret sava  $UEV(n=0)$  virzenu,  $\varphi_0 = 0$ ;  $d_n, x_{4n}$  – attālums līdz iespējamajam sava  $UEV(n=0)$  krustojuma punktam ar cita  $UEV(n > 0)$  trajektoriju. Tādējādi  $d_0 = 0$ .

Nesakritības starp ievades datiem un situācijas datiem, kas tiek glabāti  $IM$ , ir šādas:  $\mathcal{E} = \{\varepsilon_1, \dots, \varepsilon_k\}$ , kur:  $\varepsilon_j = |X - X_j| = \sum |x_i - x_{ij}|, X_j \in S_k$ .

Situācija ar mazāko nesakritību – tuvākā sakritība tiek attēlotā šādi:  $\varepsilon_\alpha = \min(\varepsilon)$ .

Slēptais slānis:  $\mu_{HID} = \{\mu_1, \dots, \mu_c\}$ , kur:  $\mu$  – specializētais  $\mu_h$  neirons. Slēptā slāņa specializētais  $\mu_h$  neirons sastāv no šādām apakškopām:  $\mu_h = \{I_{\mu h}, W_{\mu h}, AF_{\mu h}, O_{\mu h}\}$ , kur:  $I_{\mu h}$  –  $\mu_h$  neirona ieeja;  $W_{\mu h}$  –  $\mu_h$  neirona svari;  $AF_{\mu h}$  –  $\mu_h$  neirona aktivizācijas funkcija;  $O_{\mu h}$  –  $\mu_h$  neirona izvade. Slēptā slāņa  $\mu_h$  neirona ieejas dati sastāv no šādām apakškopām:  $I_{\mu h} = \{X, \alpha, \beta\}$ , kur:  $\alpha$  – situācijas numurs ar mazāko nesakritību  $\epsilon_\alpha$ ;  $\beta$  – signāls, kas saņemts no apmācības algoritma  $TA$ . Katrs slēptā slāņa  $\mu_h$  neirons glabā svarus visām  $IM$  saglabātajām situācijām. Slēptā slāņa svaru skaits ir atkarīgs no dalībnieku skaita n situācijā plus papildu svara  $b_i$ , kas arī ir saistīts ar situāciju. Slēptā slāņa  $\mu_h$  neirona svaru kopa:  $W_{\mu h} = \{\langle \alpha_1, W_1 \rangle, \dots, \langle \alpha_m, W_m \rangle\}$ , kur:  $W_i = (w_{0i}, w_{1i}, w_{2i}, \dots, w_{4ni}, b_i)$ , kur:  $i$  –  $\mu_h$  neirona indekss. Lai iegūtu jaunas svaru vērtības  $W_{ih}$ , tiek ģenerēts nejaušs skaitlis  $z$  un apmācības procesā svara koeficients tiek nobīdīts:  $w_{ji}^{t-1} - z \leq w_{ji}^t \leq w_{ji}^{t-1} + z$ . Slēptā slāņa  $\mu_h$  neirona aktivizācijas funkcija ir lineāra funkcija:  $O_{\mu h} = AF_{\mu h}(X, W_i) = \sum_{j=0}^{n_i*4} x_j w_{ji} + b_i$ .

Izvades slānis:  $\mu_{OUT} = \{\mu_1, \dots, \mu_d\}$ , kur:  $\mu$  – specializētais  $\mu_p$  neirons. Izvades slāņa specializēto  $\mu_p$  neironu skaits ir atkarīgs no nezināmo skaita risinātajā uzdevumā. Pētījumā definētajā uzdevumā ir trīs nezināmie ( $\Delta\nu_{UEV}$ ,  $\Delta\tau_{UEV}$ ,  $\Delta\phi_{UEV}$ ), tāpēc promocijas darba sadursmju novēršanas uzdevuma izvades slāņa formula ir:  $\mu_{OUT} = \{\mu_1, \mu_2, \mu_3\}$ . Izejas slāņa specializētais  $\mu_p$  neirons sastāv no šādām apakškopām:  $\mu_p = \{I_{\mu p}, W_{\mu p}, AF_{\mu p}, O_{\mu p}\}$ , kur:  $I_{\mu p}$  –  $\mu_p$  neirona ieeja;  $W_{\mu p}$  –  $\mu_p$  neirona svari;  $AF_{\mu p}$  –  $\mu_p$  neirona aktivizācijas funkcija;  $O_{\mu p}$  –  $\mu_p$  neirona izvade. Izvades slāņa ieeju skaits ir atkarīgs no  $\mu_h$  neironu skaita slēptajā slānī.  $\mu_p$  neirona ieejas datus attēlo šādas apakškopas:  $I_{\mu p} = \{O_{\mu h}, \alpha, \beta\}$ , kur:  $O_{\mu h}$  – slēptā slāņa  $\mu_h$  neironu iezīmētās dati;  $\alpha$  – situācijas numurs ar mazāko nesakritību  $\epsilon_\alpha$ ;  $\beta$  – signāls, kas saņemts no apmācības algoritma  $TA$ . Izvades slāņa svaru skaits ir atkarīgs no slēptā slāņa  $\mu_h$  neironu skaita plus papildu svara  $b_i$ , kas arī ir saistīts ar situāciju. Izvades slāņa  $\mu_p$  neirona svaru kopa:  $W_{\mu p} = \{\langle \alpha_1, W_1 \rangle, \dots, \langle \alpha_m, W_m \rangle\}$ , kur:  $W_i = (w_{0i}, w_{1i}, w_{2i}, \dots, w_{4ni}, b_i)$ . Izvades slāņa  $\mu_p$  neirona aktivizācijas funkcijas veids ir atkarīgs no risinātā uzdevuma. Atkarībā no vēlamā rezultāta var izmantot dažāda veida funkcijas:  $O_{\mu p} = AF_{\mu p}(O_{\mu h}, W_i) = f(r)$ , kur:  $r = \sum_{j=0}^h y_j w_{ji} + b_i$ , kur:  $n$  – ātruma  $\Delta\nu_i$ , pārvietošanās virziena horizontālā plaknē  $\Delta\tau_i$  vai pārvietošanās virziena vertikālā plaknē  $\Delta\phi_i$  izmaiņu limits. Šajā pētījumā izmantota logaritmiskā sigmoīda funkcija kā izvades slāņa  $\mu_p$  neirona aktivizācijas funkcija:  $O_{\mu p} = AF_{\mu p}(O_{\mu h}, W_i) = \log(\frac{1}{1+e^{-r}})$ . Šāda veida funkcija tiek izmantota, jo ir iespējams iestatīt ātruma un virziena maiņas ierobežojumus. Tas ir svarīgi, jo dažāda veida transportlīdzekļiem ir atšķirīgi parametri un ierobežojumi ātruma un trajektorijas maiņai. Piedāvātā mērķa funkcija pārbauda arī ātruma un attāluma izmaiņu ierobežojumus.  $\mu_p$  neironu iezīmētās dati ir atkarīgas arī no risinātā uzdevuma. Piemēram, dzelzceļa transports nevar mainīt virzienu jebkurā laika momentā, tas var mainīt tikai ātrumu. Rezultātā būs tikai viens  $\mu_p$  neirons un tikai viena ieeja  $O_{\mu p}$ . Šajā pētījumā tiek izmantoti trīs izvades slāņa izvadi:  $O_{\mu p1} = \Delta\nu_{UEV}$ ;  $O_{\mu p2} = \Delta\tau_{UEV}$ ;  $O_{\mu p3} = \Delta\phi_{UEV}$ , kur:  $\Delta\nu_{UEV}$  – sava  $UEV$  nepieciešamā ātruma maiņa;  $\Delta\tau_{UEV}$  – sava  $UEV$  nepieciešamā horizontālā kustības virziena maiņa;  $\Delta\phi_{UEV}$  – sava  $UEV$  nepieciešamā vertikālā kustības virziena maiņa.

*UEV* intereses definēšanai piedāvāta mērķa funkcija:  $TF = w(x, a_1, a_2, \dots, a_n) \rightarrow opt$ , kur:  $TF$  – mērķa funkcija – *UEV* mērkis;  $x$  – vides stāvoklis;  $a_i$  – i-tā *UEV* darbība. Mērķa funkcijas galvenais mērkis ir samazināt *UEV* sadursmes varbūtību, minimāli mainot ātrumu un virzienu konkrētajā vides stāvoklī. Mērķa funkcija novērtē vides stāvokli, pēc kā novērtē, kā *UEV* darbības ietekmēs situāciju.

Katra *UEV* informācija ir atkarīga no vides stāvokļa:  $y_i = y_i(x)$ , kur:  $y_i$  – i-tā *UEV* informācija.

I-tā *UEV* lēmuma noteikums rada i-tā *UEV* darbību un ir atkarīgs no informācijas:  $a_i = \rho_i(y_i)$ , kur:  $\rho_i$  – i-tā *UEV* lēmuma noteikums.

$$\text{Mijiedarbība starp } i\text{-to un } j\text{-to } UEV: q_{ij} = \frac{\partial w}{\partial a_i \partial a_j}.$$

Lēmuma noteikumu kopa ir optimāla, ja  $E(w(x, \rho_1(y_1), \dots, \rho_n(y_n))) \rightarrow \max$  noteiktam varbūtības sadalījumam uz  $x$ .

Pretsadursmes testam ir noteikta iespējamo sadursmju punktu kopa:  $P = (p_1, p_2, \dots, p_c)$ .

*UEV* atrašanās vietu  $L^{UEV}$  attēlo trīs apakškopas  $\langle \chi_c^{UEVS}, \psi_c^{UEVS}, \eta_c^{UEVS} \rangle$ , kas ir ģeogrāfiskais platoms  $\chi$ , ģeogrāfiskais garums  $\psi$  un augstums virs jūras līmeņa  $\eta$ :  $\chi_c^{UEV} = \{\chi_c^{UEV_1}, \chi_c^{UEV_2}, \dots, \chi_c^{UEV_n}\}$ ;  $\psi_c^{UEV} = \{\psi_c^{UEV_1}, \psi_c^{UEV_2}, \dots, \psi_c^{UEV_n}\}$ ;  $\eta_c^{UEV} = \{\eta_c^{UEV_1}, \eta_c^{UEV_2}, \dots, \eta_c^{UEV_n}\}$ , kur:  $\chi_c^{UEV}$  – *UEV* pašreizējas atrašanās vietas ģeogrāfiskais platoms;  $\psi_c^{UEV}$  – *UEV* pašreizējas atrašanās vietas ģeogrāfiskais garums;  $\eta_c^{UEV}$  – *UEV* pašreizējas atrašanās vietas augstums virs jūras līmeņa.

*UEV* pašreizējais orpēšanas leņķis tiek izmantots kā ievades parametrs. *UEV* orpēšanas leņķu kopa:  $\theta^{UEV} = \{\theta^{UEV_1}, \theta^{UEV_2}, \dots, \theta^{UEV_n}\}$ .

*UEV* pašreizējais transversālais leņķis tiek izmantots kā ievades parametrs. *UEV* transversālo leņķu kopa:  $\omega^{UEV} = \{\omega^{UEV_1}, \omega^{UEV_2}, \dots, \omega^{UEV_n}\}$ .

Drošības kritērijs:  $D = |UEV_i - UEV_j| = \sqrt{(\chi_c^i - \chi_c^j)^2 + (\psi_c^i - \psi_c^j)^2 + (\eta_c^i - \eta_c^j)^2} > D_{safe}$ , kur:  $D_{safe}$  ir drošības attāluma ierobežojums katram *UEV* pāriem:  $\langle UEV_i, UEV_j \rangle$ ,  $i = 1..n$ ,  $j = 1..n$ ,  $i \neq j$ .

Pielaujamās virziena un ātruma izmaiņas ir atkarīgas no *UEV* specifikācijām un citiem apstākļiem. Tika definēti ierobežojumi horizontālās kustības virziena maiņai:  $\tau_1^{UEV_i} < \tau^{UEV_i} < \tau_2^{UEV_i}$ . Tika noteikti ierobežojumi vertikālās kustības virziena maiņai:  $\varphi_1^{UEV_i} < \varphi^{UEV_i} < \varphi_2^{UEV_i}$ . Tika noteikti ātruma maiņas ierobežojumi:  $v_1^{UEV_i} < v^{UEV_i} < v_2^{UEV_i}$ .

Mērķa funkcija ar pretSadursmes kritērijiem ir sniepta 2.1. formulā, kur:  $P_{max}$  – maksimālā sadursmes varbūtība no sadursmes varbūtību kopas visiem *UEV* pāriem;  $\Delta\tau = (\Delta\tau_1, \dots, \Delta\tau_n)$  – visu *UEV* kustības virziena izmaiņas horizontālajā plaknē;  $\Delta\varphi = (\Delta\varphi_1, \dots, \Delta\varphi_n)$  – visu *UEV* kustības virziena izmaiņas vertikālajā plaknē;  $\Delta v = (\Delta v_1, \dots, \Delta v_n)$  – visu *UEV* ātruma izmaiņas;  $P_{IJ} = (P(\langle UEV_1, UEV_2 \rangle), \dots, P(\langle UEV_i, UEV_j \rangle), \dots, P(\langle UEV_{n-1}, UEV_n \rangle))$  – sadursmes varbūtību kopa visiem *UEV* pāriem  $\langle UEV_i, UEV_j \rangle$ ,  $i \neq j$ ,  $i, j = 1, \dots, n$ .

$$\left\{ \begin{array}{l} P_{max}(\chi_c^{UEV}, \psi_c^{UEV}, \eta_c^{UEV}, \Delta\tau, \Delta\varphi, \Delta\nu) = \max(P_{IJ}) \rightarrow min \\ \Delta\tau_\Sigma(\Delta\tau) = \sum_{i=1}^n \Delta\tau_i \rightarrow min \\ \Delta\varphi_\Sigma(\Delta\varphi) = \sum_{i=1}^n \Delta\varphi_i \rightarrow min \\ \Delta\nu_\Sigma(\Delta\nu) = \sum_{i=1}^n \Delta\nu_i \rightarrow min \\ D = |UEV_i UEV_j| > S \\ \Delta\tau_1 < \Delta\tau_i < \Delta\tau_2 \\ \Delta\varphi_1 < \Delta\varphi_i < \Delta\varphi_2 \\ \Delta\nu_1 < \Delta\nu_i < \Delta\nu_2 \\ i = 1..n, j = 1..n, i \neq j \end{array} \right. \quad (2.1)$$

Atbilstoši uzdevumam katrs  $UEV$  meklē savu virziena un/vai ātruma maiņas risinājumu  $\langle \Delta\varphi_i, \Delta\nu_i \rangle$ . Mērķa funkcija priekš viena  $UEV$ :

$$\left\{ \begin{array}{l} P_{max}(\chi_c^{UEV}, \psi_c^{UEV}, \eta_c^{UEV}, \Delta\tau_0, \Delta\varphi_0, \Delta\nu) = \max(P_{0j}) \rightarrow min \\ \Delta\tau_0 \rightarrow min, \Delta\varphi_0 \rightarrow min, \Delta\nu_0 \rightarrow min \\ D = |UEV_0 UEV_j| > S \\ \Delta\tau_1 < \Delta\tau_0 < \Delta\tau_2, \Delta\varphi_1 < \Delta\varphi_0 < \Delta\varphi_2, \Delta\nu_1 < \Delta\nu_0 < \Delta\nu_2 \\ j = 1..n \end{array} \right. , \quad (2.2)$$

kur:  $P_{max}$  – ir vislielākā sadursmes varbūtība starp savu  $UEV_0$  un visiem citiem  $UEV$  kontroles zonā;  $\Delta\tau_0$  – sava  $UEV_0$  kustības virziena maiņa horizontālā plaknē;  $\Delta\varphi_0$  – sava  $UEV_0$  kustības virziena maiņa vertikālā plaknē;  $\Delta\nu_0$  – sava  $UEV_0$  ātruma maiņa;  $P_{0j} = (P(<UEV_0, UEV_1>), \dots, P(<UEV_0, UEV_j>), \dots, P(<UEV_0, UEV_n>))$  – sadursmes varbūtību kopa starp savu  $UEV_0$  un visiem citiem  $UEV$  kontroles zonā,  $j = 1..n$ .

Lēmumu pieņemšanas moduļa  $F_{DM}$  funkcija:  $F_{DM} = TF(P_{max}, \Delta\nu_{UEV}, \Delta\tau_{UEV}, \Delta\varphi_{UEV}) \rightarrow min$ .

Tādējādi ar piedāvātās mērķa funkcijas palīdzību ir iespējams novērtēt  $INN$  nepārraudzītas apmācības rezultātu un pieņemt lēmumu par risinājuma pieņemšanu vai apmācības turpināšanu.

### 3. Izstrādātie algoritmi elektrotransporta bīstamo situāciju atpazīšanas un novēršanas uzdevumam

Promocijas darba trešajā nodaļā sniepta informācija par izstrādātajiem algoritmiem dažādiem pētījuma uzdevumiem: luksoforu sarkanā signāla atpazīšanas metodes algoritms; algoritms  $CNN$  objektu atpazīšanai  $UEV$  bīstamo situāciju atpazīšanas un novēršanas uzdevumam; algoritms  $UEV$  sadursmes varbūtības novērtēšanas uzdevumam; neironu tīkla algoritms sadursmes varbūtības novērtēšanas un minimizēšanas uzdevumam; jauns  $INN$  algoritms nepārraudzīti sadursmes varbūtības novērtēšanai un minimizēšanai  $UEV$  bīstamo situāciju atpazīšanas un novēršanas uzdevumam.

**Luksoforu sarkanā signāla atpazišanas metodes algoritms elektrotransporta bīstamo situāciju atpazišanas un novēršanas uzdevumam.** Šis algoritms tika izstrādāts, lai atšķirtu sarkanās krāsas signālu no citiem krāsu signāliem. Piedāvātais algoritms aprakstīts promocijas darba trešajā nodaļā.

**Algoritms objektu atpazišanai ar konvolūcijas neironu tīklu elektrotransporta bīstamo situāciju atpazišanas un novēršanas uzdevumam.** CNN ir tradicionāls neironu tīkls, kas tiek izmantots šajā pētījumā objektu atpazišanas uzdevumiem. Tā ir būtiska sastāvdaļa *UEV* drošības nodrošināšanā. Detalizēts algoritma apraksts – promocijas darba trešajā nodaļā.

#### **Algoritms elektrotransporta sadursmes varbūtības novērtēšanas uzdevumam. 1. solis.**

Datu iegūšana. *UEV* saņem informāciju par saviem parametriem: ātrumu un centra punkta koordinātām, izmantojot GNSS, un citu *UEV* ātrumu un četru leņķu koordinātām, izmantojot *RF*.

**2. solis.** Pēc informācijas saņemšanas tiek noteikta turpmāko aprēķinu nepieciešamība.

**2.1. solis.** Veikti *UEV* priekšējo un aizmugurējo leņķu koordinātu aprēķini:  $RF = (\chi_{UEV} + \frac{w_{UEV}}{2}; \Psi_{UEV} + \frac{h_{UEV}}{2})$ ;  $LF = (\chi_{UEV} - \frac{w_{UEV}}{2}; \Psi_{UEV} + \frac{h_{UEV}}{2})$ ;  $RR = (\chi_{UEV} + \frac{w_{UEV}}{2}; \Psi_{UEV} - \frac{h_{UEV}}{2})$ ;  $LR = (\chi_{UEV} - \frac{w_{UEV}}{2}; \Psi_{UEV} - \frac{h_{UEV}}{2})$ , kur:  $RF$  – *UEV* labā priekšējā leņķa koordinātas;  $LF$  – *UEV* kreisā priekšējā leņķa koordinātas;  $RR$  – *UEV* labā aizmugurējā leņķa koordinātas;  $LR$  – *UEV* kreisā aizmugures leņķa koordinātas;  $\chi_{UEV}$  – *UEV* centra punkta ģeogrāfiskais platoms;  $\Psi_{UEV}$  – *UEV* centra punkta ģeogrāfiskais garums;  $w_{UEV}$  – *UEV* platoms;  $h_{UEV}$  – *UEV* garums.

**2.2. solis.** Kustības virziena aprēķins. Šim nolūkam tiek salīdzināti priekšējie un aizmugurējie leņķi.

**2.3. solis.** Objektu noteikšana kontroles zonā – *UEV* priekšā vai tajā pašā līmenī. Šim nolūkam tiek salīdzinātas *UEV* leņķu koordinātas, līdzīgi tam, kā tas tika darīts 2.2. solī. Ja objekts neatrodas kontroles zonā, tad turpmāki aprēķini nav nepieciešami, pretējā gadījumā tiek veikts nākamais solis.

**3. solis.** Krustojuma punktu koordinātu aprēķins:  $yR_1 = k_1 * xR_1 + bR_1$ ;  $yL_1 = k_1 * xL_1 + bL_1$ ;  $yR_2 = k_2 * xR_2 + bR_2$ ;  $yL_2 = k_2 * xL_2 + bL_2$ ;  $yyR1R2 = cross(yR_1, yR_2)$ ;  $yyR1L2 = cross(yR_1, yL_2)$ ;  $yyL1R2 = cross(yL_1, yR_2)$ ;  $yyL1L2 = cross(yL_1, yL_2)$ , kur:  $yR_1$  – *UEV1* labas putas līnija;  $yL_1$  – *UEV1* kreisas putas līnija;  $yR_2$  – *UEV2* labas putas līnija;  $yL_2$  – *UEV2* kreisas putas līnija;  $k_1$ ,  $k_2$  – leņķa koeficienti;  $yyR1R2$  – krustojuma zonas labā aizmugurējā leņķa koordinātas;  $yyR1L2$  – krustojuma zonas kreisā aizmugurējā leņķa koordinātas. Krustojuma punktu aprēķināšanā tiek ņemtas vērā tikai  $\chi_{UEV}$  koordinātas, jo saskaņā ar algoritmu katra *UEV* sava  $\Psi_{UEV}$  koordināta ir vienāda ar nulli un var mainīt tikai  $\chi_{UEV}$  koordinātu.

**4. solis.** Ir veikts attāluma aprēķins līdz krustojumam:  $ddR1R2 = \sqrt{(yyR1R2 - yRR_1)^2}$ ;  $ddL1R2 = \sqrt{(yyL1R2 - yLR_1)^2}$ ;  $ddR1L2 = \sqrt{(yyR1L2 - yRF_1)^2}$ ;  $ddL1L2 = \sqrt{(yyL1L2 - yLF_1)^2}$ .

**4.1. solis.** Minimālā attāluma līdz krustojumam aprēķins:  $d_1^{min} = (ddR1L2, ddL1R2)$ . Nepieciešams aprēķināt attālumu *UEV* labajai un kreisajai pusei. Mazākā vērtība būs minimālais attālums.

**4.2. solis.** Maksimālā attāluma līdz krustojumam aprēķināšana:  $d_1^{max} = (ddR1R2, ddL1R2)$ . Nepieciešams aprēķināt attālumu *UEV* labajai un kreisajai pusei. Lielākā vērtība būs maksimālais attālums.

**5. solis.** Laika līdz krustojumam aprēķināšana. **5.1. solis.** Minimālais laiks līdz krustojumam:  $t_n^{min} = d_1^{min} / V_n$ , kur:  $V_n$  – *UEV* ātrums. **5.2. solis.** Maksimālais laiks līdz krustojumam:  $t_n^{max} = d_1^{max} / V_n$ .

**6. solis.** Tieka veikts sadursmes varbūtības novērtējums:

**Ja**  $t_2^{min} > t_1^{min}$  **un**  $t_1^{max} > t_2^{max}$  **un**  $t_2^{max} > t_1^{min}$ , **tad:**  $P1 = \frac{t_1^{max} - t_2^{min}}{t_1^{max} - t_1^{min}}$ ;  $P2 = \frac{t_1^{max} - t_2^{min}}{t_2^{max} - t_2^{min}}$ ;  $P = P1 * P2$ . **Ja**  $t_2^{min} < t_1^{min}$  **un**  $t_2^{max} < t_1^{max}$  **un**  $t_1^{min} < t_2^{max}$ , **tad:**  $P1 = \frac{t_2^{max} - t_1^{min}}{t_2^{max} - t_2^{min}}$ ;  $P2 = \frac{t_2^{max} - t_1^{min}}{t_1^{max} - t_1^{min}}$ ;  $P = P1 * P2$ . **Ja**  $t_1^{min} < t_2^{min}$  **un**  $t_1^{max} < t_2^{min}$  **vai**  $t_2^{min} < t_1^{min}$  **un**  $t_2^{max} < t_1^{min}$ , **tad:**  $P = 0$ . **Ja**  $t_1^{min} <= t_2^{min}$  **un**  $t_1^{max} >= t_2^{max}$ , **tad:**  $P = \frac{t_2^{max} - t_2^{min}}{t_1^{max} - t_1^{min}}$ . **Ja**  $t_2^{min} <= t_1^{min}$  **un**  $t_2^{max} >= t_1^{max}$ , **tad:**  $P = \frac{t_1^{max} - t_1^{min}}{t_2^{max} - t_2^{min}}$ . Atkarībā no uzdevuma sadursmes varbūtības vērtību ir iespējams pārveidot fazilogikas vērtībā. Tomēr jaunajā INN algoritmā fazilogika netika izmantota.

Neironu tīkla algoritms sadursmes varbūtības novērtēšanai un minimizēšanai elektrotransporta bīstamo situāciju atpazīšanas un novēršanas uzdevumam. Inicializācija. Apmācības grupas elementa indekss  $e = 1$ ; izvēlēts korekcijai  $n_{sn} = 1$ ; izvēlēts svaru korekcijai  $sw = 1$ ; atkārtota apmācība = *false*. **1. solis.** No apmācības kopas tiek paņemts elements  $e = \{d_{tr}^e, v_{tr}^e, d_{tr}^e, v_{tr}^e\}$ . **2. solis.**  $x = (e_1, e_2, \dots, e_n)$ . **3. SOLIS:**  $x_{min}$  un  $x_{max}$  parametri, kas ierobežo n tīkla izvadi. **4. solis.** Tieki aprēķinātas izvades  $n$  summas vērtības:  $\sum_j = (\sum_{i=1}^{2n} x_i * w_{ij}) + b_j$ ,  $j = \overline{1..n}$ . Tieki uzgēnerēta izvades slāņa  $n$  izejas vērtība, izmantojot līneāro aktivizācijas

funkciju:  $\Delta v_{tr} = \begin{cases} x_{min}, & \sum_j \leq x_{min} \\ \sum_j, & x_{min} < \sum_j < x_{max} \\ x_{max}, & \sum_j \geq x_{max} \end{cases}$ . **5. solis.** Tieki saglabāts iepriekšējais novērtējums, ja

tas pastāv  $P_{tr0}$ ,  $\Sigma \Delta v_{tr0}$ . **6. solis.** Tieki novērtēts atrastais risinājums, izmantojot mērķa funkciju  $[P_{tr}, \Sigma \Delta v_{tr}] = TF(\Delta v_{tr})$ . **7. solis.** Ja  $P_{tr} > P_{safe}$  vai  $\Sigma \Delta v_{tr} > \Sigma \Delta v_{trlim}$ , tad notiek pāriešana uz nākamo soli. **8. solis.** Ja pēdējais apmācības kopas elements nav sasniegt  $e \neq e_{max}$ , tad  $e=e+1$  un apmācība tiek atkārtota no 1. soļa, citādi, ja nav nepieciešams atkārtoti apmācīt tīklu, tad algoritma beigas, pretējā gadījumā  $e = 1$  un pāriet uz 1. soli. **9. solis.** Svara korekcija notiek secīgi: ja ( $sn \neq 1$  un  $sw \neq 1$ ) vai ( $P_{tr0} < P_{tr}$  un  $\Sigma \Delta v_{tr0} < \Sigma \Delta v_{tr}$ ), tas nozīmē, ka, ja elements nav pirmais un rezultāts ir sliktāks nekā tas bija iepriekš, tad tiek veikta svara korekcija  $w_{sw, sn} = w_{sw, sn} - k$ , kur:  $k$  – nejaušs skaitlis:  $k = random(x_{min}, x_{max})/10\ 000$ . Ja  $sw > 2n$ , tad  $sn = sn + 1$ , citādi  $sw = sw + 1$ . Ja  $sn > n$ , tad  $sn = 1$ ,  $sw = 1$ . **10. solis.** Ja tika veikta svara korekcija, tad neironu tīkls ir jāpārmāca. Atkārtota apmācība = *true*. **11. solis.** Pāriet uz 3. soli.

**Jauns INN algoritms nepārraudzītai sadursmes varbūtības novērtēšanai un minimizēšanai UEV bīstamo situāciju atpazīšanas un novēršanas uzdevumam.** **1. solis.** Tieki saņemti ieejas dati DAT no n UEV, kas atrodas redzamības zonā. Šie dati ir UEV atrašanās vietas koordinātas  $\langle \chi_c^{UEV}, \psi_c^{UEV}, \eta_c^{UEV} \rangle$ , ātrums  $v^{UEV}$ , orpēšanas leņķis  $\theta^{UEV}$  un transversālais leņķis  $\omega^{UEV}$ :  $DAT = (\chi_c^{UEV}, \psi_c^{UEV}, \eta_c^{UEV}, \theta^{UEV}, \omega^{UEV}, v^{UEV})$ , kur:  $\chi_c^{UEV}$  – UEV pašreizējas atrašanās vietas ģeogrāfiskais platoms;  $\psi_c^{UEV}$  – UEV pašreizējas atrašanās vietas ģeogrāfiskais garums;  $\eta_c^{UEV}$  – UEV pašreizējas atrašanās vietas augstums virs jūras līmeņa;  $\theta^{UEV}$  – UEV orpēšanas leņķis;  $\omega^{UEV}$  – UEV transversālais leņķis;  $v^{UEV}$  – UEV pašreizējais ātrums. **2. solis.** Izstrādātajam INN ir nepieciešami dati par citu UEV atrašanās vietu attiecībā pret sava UEV atrašanās vietu. Līdz ar to dati DAT ir jāapstrādā, pirms tie nonāks INN ievades slānī. **2.1. solis.** Ieejas dati DAT satur citu UEV atrašanās vietu koordinātas  $\langle \chi_c^{UEV}, \psi_c^{UEV}, \eta_c^{UEV} \rangle$ , ir zināma arī sava UEV atrašanās vieta. Tieki aprēķināti attālumi līdz iespējamajiem krustojuma punktiem ar

citiem  $UEV$   $d_{UEV}$ . Algoritms elektrotransporta sadursmes varbūtības novērtēšanas uzdevumam ir aprakstīts iepriekš. Šajā solī tiek aprēķināts tikai minimālais attālums  $d_n^{min}$ .

**2.2. solis.** Nākamais solis ir sakārtot  $UEV$ , lai precīzāk noteiktu situāciju. Pirmais  $UEV$  vienmēr ir savs  $UEV$ . Pārējo  $UEV$  kārtošana tiek veikta pēc  $\tau_n^{UEV}$  vērtības, sākot no  $0^\circ$ , pulksteņrādītāja virzienā. Ja vairākiem  $UEV$  ir vienāda  $\tau_n^{UEV}$  vērtība, tad šo  $UEV$  sakārtošana tiek veikta pēc  $\varphi_n^{UEV}$  vērtības, sākot no  $0^\circ$ , pulksteņrādītāja virzienā. Ja vairākiem  $UEV$  ir vienāda  $\varphi_n^{UEV}$  vērtība, tad šo  $UEV$  sakārtošana tiek veikta atbilstoši attālumam līdz krustojumam ar šiem  $UEV$   $d_n^{UEV}$ . Cita  $UEV$  pārvietošanās virziens horizontālā plaknē  $\tau_n$  attiecībā pret sava  $UEV$  virzienu aprēķina šādi:  $\tau_n = \tan^{-1}((\tan \theta_n^{UEV} - \tan \tau_1)/(1 + \tan \tau_1 \tan \theta_n^{UEV}))$ , kur:  $\tau_1$  – sava  $UEV$  pārvietošanās virziens horizontālā plaknē;  $\theta_n^{UEV}$  – cita  $UEV$  pārvietošanās virziens horizontālā plaknē. Cita  $UEV$  pārvietošanās virziens vertikālā plaknē  $\varphi_n$  attiecībā pret sava  $UEV$  virzienu aprēķina šādi:  $\varphi_n = \tan^{-1}((\eta_n^{UEV} - \eta_1)/d_n)$ , kur:  $\eta_1$  – sava  $UEV$  augstums virs jūras līmeņa;  $\eta_n^{UEV}$  – cita  $UEV$  augstums virs jūras līmeņa;  $d_n$  – horizontālais attālums starp savu  $UEV$  un n-to  $UEV$ . Horizontālais attālums starp savu  $UEV$  un n-to  $UEV$ :  $d_n = \sqrt{(\Delta\eta^2 + \Delta d^2)}$ , kur:  $\Delta\eta$  – augstuma virs jūras līmeņa starpība starp diviem  $UEV$ ;  $\Delta d$  – horizontālais attālums starp diviem  $UEV$ . Darbības, kas veiktas 2. solī, pārveido ievades datus DAT par ieejas datiem X:  $X = (v_0, v_1, \tau_1, \varphi_1, d_1, \dots, v_n, \tau_n, \varphi_n, d_n) = (x_0, x_1, x_2, x_3, x_4, \dots, x_{4n-3}, x_{4n-2}, x_{4n-1}, x_{4n})$ , kur:  $n$  –  $UEV$  skaits,  $n = 0$  – savs  $UEV$ ,  $n > 0$  – citi  $UEV$ ;  $v_n, x_{4n-3}$  – n-tā  $UEV$  ātrums;  $\tau_n, x_{4n-2}$  – n-ta  $UEV$  pārvietošanās virziens horizontālā plaknē. Cita  $UEV$  pārvietošanās virziens ( $n > 0$ ) attiecībā pret sava  $UEV$  ( $n = 0$ ) virzienu, bet  $\tau_0 = 0$ ;  $\varphi_n, x_{4n-1}$  – n-ta  $UEV$  pārvietošanās virziens vertikālā plaknē. Cita  $UEV$  pārvietošanās virziens ( $n > 0$ ) attiecībā pret sava  $UEV$  ( $n = 0$ ) virzienu, bet  $\varphi_0 = 0$ ;  $d_n, x_{4n}$  – attālums līdz iespējamajam sava  $UEV$  ( $n = 0$ ) krustojuma punktam ar cita  $UEV$  ( $n > 0$ ) trajektoriju. Tādējādi  $d_0 = 0$ .

**3. solis.** Sadursmes varbūtības P aprēķins ir paredzēts, lai noteiktu, vai ir nepieciešams samazināt sadursmes risku. Ja nē, tad algoritma beigas. Ja jā, tad tiek izpildīts nākamais solis. Algoritms elektrotransporta sadursmes varbūtības novērtēšanas uzdevumam ir aprakstīts iepriekš.

**4. solis.** Kad ieejas dati X nonāk INN ievades slānī, dati X tiek nosūtīti uz specializētajiem  $\mu$  neironiem un līdzības algoritmu (AA). AA (X, S) pārbauda visas IM saglabātās situācijas  $S = \{s_1, s_2, \dots, s_m\}$ , aprēķina nesakritību kopu  $\mathcal{E} = (\varepsilon_1, \dots, \varepsilon_k)$ , kur:  $\varepsilon_j = \sum_{i=0}^n \sum_{k=1}^2 \left( \frac{x_{ik} - x_{ik}^j}{x_{ik}} \right)^2$  un atrod tuvāko sakritību  $\varepsilon_\alpha$ , kur:  $\varepsilon_\alpha = \min(\mathcal{E})$ .

**5. solis.** Kad  $\mu$  neirons saņem ievades datus X, tas aktivizē un palielina iterāciju skaitītāju  $t = t + 1$ . Kad tiek saņemts situācijas numurs  $\alpha$ ,  $\mu$  neirona atmiņā tiek atrasta svaru kopa  $W_\mu$ . Ja IM nav līdzīgas situācijas un  $\alpha = 0$ , tad  $W_\mu = 0$ .

**6. solis.** Ieejas dati X, situācijas numurs  $\alpha$ , kas saņemti no līdzības algoritma AA, un signāls  $\beta$ , kas norāda par nepieciešamību pārrēķināt  $\mu$  neironu svarus, ir slēptā slāņa  $\mu_{HID}$  katras  $\mu$  neirona ievades dati. Tieki veikta ieejas padeve uz priekšu, izmantojot NN. Formulas ir sniegtas 2. nodalā. Rezultātā tiek generēti: sava  $UEV$  pārvietošanās virziena vertikālā plaknē maiņa  $O_{\mu p3} = \Delta\varphi_{UEV}$ , sava  $UEV$  pārvietošanās virziena horizontālā plaknē maiņa  $O_{\mu p2} = \Delta\tau_{UEV}$  un sava  $UEV$  ātruma maiņa  $O_{\mu p1} = \Delta v_{UEV}$ .

**7. solis.** TF aprēķina sadursmes varbūtību  $P_{max}$ , kas ir maksimālā sadursmes varbūtība no sadursmes varbūtību kopas visiem  $UEV$   $P_{IJ}$ . TF izmanto atjauninātus datus, kas saņemti tieši no  $UEV$  iegultās ierīces  $D_{TR}$ .

**7.1. solis.** TF nosaka katra  $UEV$  virzienus

$\tau^{UEV}$  un  $\varphi^{UEV}$  attiecībā pret savu  $UEV$ . **7.2. solis.** Nākamais solis ir noteikt krustojuma punktu  $(\chi_p, \psi_p, \eta_p)$  3D telpā. **7.3. solis.** Ja krustojuma punkts  $(\chi_p, \psi_p, \eta_p)$  ir atrasts un atrodas kustības ceļā, tad tiek izpildīts 7.4. solis, citādi tiek izpildīts 7.6. solis. **7.4. solis.** Tieki aprēķināts attālums starp cita un sava  $UEV$  augstumu virs jūras līmeņa  $(\chi_p, \psi_p, \eta_p)$  punktam  $\Delta\eta = \eta_p^i - \eta_p^{own}$ . **7.5. solis.** Ja  $\Delta\eta \leq D_{safe}$ , tad tiek pieņemts, ka pastāv potenciāli bīstams punkts un tiek aprēķināta sadursmes varbūtība  $P$ . Algoritms elektrotransporta sadursmes varbūtības novērtēšanas uzdevumam ir aprakstīts iepriekš. **7.6. solis.** Ja krustojuma punkts  $(\chi_p, \psi_p, \eta_p)$  nav atrasts, tad trajektorijas ir paralēlas un jāpārbauda  $D_{safe}$  drošai gārambraukšanai. **8. solis.** Ja  $P_{max} > P_{safe}$ , kur  $P_{safe}$  ir maksimālā pieļaujamā (drošā) sadursmes varbūtība, tad tiek pārbaudīts, vai risinājums ir labāks vai sliktāks par iepriekšējo. Ja  $t = 1$ , tad signāls  $\beta$  tiek nosūtīts uz visiem  $\mu$  neironiem un darbības tiek atkārtotas, sākot no 6. soļa. Ja  $1 < t < T_{max}$  un  $P_{max2} > P_{max1}$ , tad signāls  $\beta$  tiek nosūtīts visiem  $\mu$  neironiem.  $\mu$  neironi atgriež iepriekšējās  $W_\mu$  vērtības un atkārto apmācību, sākot no 6. soļa. Ja  $1 < t < T_{max}$  un  $P_{max2} \leq P_{max1}$ , tad signāls  $\beta$  tiek nosūtīts visiem  $\mu$  neironiem un apmācība tiek atkārtota, sākot no 6. soļa. Ja  $t \geq T_{max}$ , tad situāciju nevar atrisināt noteiktajā laikā, tāpēc ir nepieciešams drošs risinājums. Šajā pētījumā šāds risinājums ir ātruma samazināšana  $\Delta v_i = v$ , pēc kā algoritms beidzas, citādi tiek izpildīts nākamais solis. **9. solis.** Ja  $P_{max} \leq P_{safe}$  tad aprēķināta ātruma maiņa  $\Delta v_{UEV}$ ,  $UEV$  pārvietošanās virzienu maiņa  $\Delta\tau_{UEV}$  un  $\Delta\varphi_{UEV}$  tiek pieņemta kā risinājums un nosūtīta uz iegulto elektronisko ierīci  $UEV$  kontrolei. Sakritības kļūda  $\varepsilon_a$  tiek salīdzināta ar maksimāli iespējamo sakritības kļūdu  $\varepsilon_{lim}$ , kas ir atbildīga par jauna ieraksta izveidi  $IM$  vai esošā aizstāšanu. Ja  $\varepsilon_a > \varepsilon_{lim}$ , tad katrs  $\mu$  neirons saglabā jaunu svaru kopu  $W_{m+1}$ , kas tika izmantota šīs situācijas risināšanai, un  $IM$  saglabā situāciju  $X$  kā  $S_{m+1} = X$  un  $m = m + 1$ . Citādi, ja  $\varepsilon_a \leq \varepsilon_{lim}$ , tad katrs  $\mu$  neirons atjaunina svaru kopu  $W_\alpha$  un  $IM$  tiek atjaunināts ieraksts  $\alpha$ :  $s_\alpha = X$ . **10. solis.** Algoritma beigas.

#### 4. Izstrādātie prototipi un datormodeli piedāvāto algoritmu testēšanai

Promocijas darba ceturtajā nodaļā tika aprakstīti izstrādātie datormodeli un prototipi: prototips luksoforu sarkanā signāla atpazīšanas algoritma pārbaudei; datormodelis objektu atpazīšanas ar *CNN* algoritma pārbaudei; datormodelis *UEV* sadursmes varbūtības novērtēšanas algoritma pārbaudei (5.1. att.); datormodelis *ANN* algoritma pārbaudei sadursmes varbūtības novērtēšanai un minimizēšanai *UEV* bīstamo situāciju atpazīšanas un novēršanas uzdevumam (5.2. att.); datormodelis jaunā *INN* algoritma pārbaudei *UEV* nepārraudzītas sadursmes varbūtības novērtēšanai un minimizēšanai (5.3. att.). Datoru modeļu izstrādei tika izmantota objektorientētā (angļu val. *object-oriented* [92]) programmēšana. Papildus tika izstrādāta datubāze datorsimulāciju rezultātu saglabāšanai.

Promocijas darba ceturtajā nodaļā tika aprakstīta elektriskā shēma ar *INN*, kas spēj apmācīties nepārraudzīti. Elektriskā shēma izstrādāta *UEV* – kvadrokopteram, taču to var pielāgot un lietot arī cita veida elektrotransportam, jo izstrādātā sadursmju novēršanas iekārta ir daudzfunkcionāla un izmantojama ar dažāda veida elektrotransportlīdzekļiem.

## 5. Izstrādāto algoritmu eksperimentālā pārbaude

Izstrādāto algoritmu eksperimentālā pārbaude, pamatojoties uz datormodeļiem, aprakstīta promocijas darba piektajā nodaļā.

### Luksofora sarkanā signāla atpazīšanas algoritma eksperimentālo pētījumu rezultāti.

Tika veikts reāllaika atpazīšanas eksperiments, izmantojot luksofora prototipu. Piedāvātā sistēma ir apmācīta bez kļūdām atšķirt sarkano signālu no citu krāsu signāliem.

**Objektu atpazīšanas ar konvolūcijas neironu tīklu algoritma eksperimentālo pētījumu rezultāti.** Tika veikti vairāki eksperimenti, lai demonstrētu piedāvātā algoritma efektivitāti. Pirmajā eksperimentā *CNN* tika apmācīts atpazīt objektus: cilvēkus, transportlīdzekļus un kokus. Katram objektam tika izmantoti pieci dažādu siluetu komplekti. Pēc apmācības *CNN* veiksmīgi atpazina objektus trīs attēlos, kas atšķirās no treniņu komplektā esošiem. Otrajā eksperimentā *CNN* tika apmācīts atpazīt luksoforus, trešajā eksperimentā – ceļa pagriezienus. Ceturtajā eksperimentā *CNN* tika apmācīts atpazīt vagonus. Eksperimentu rezultāti liecina, ka *CNN* ir piemērota metode objektu atpazīšanas uzdevumiem.

**Elektrotransporta sadursmes varbūtības novērtēšanas algoritma eksperimentālo pētījumu rezultāti.** Katrs objekts veica visu parametru un sadursmes varbūtības aprēķināšanu atbilstoši savai atrašanās vietai un parametriem.

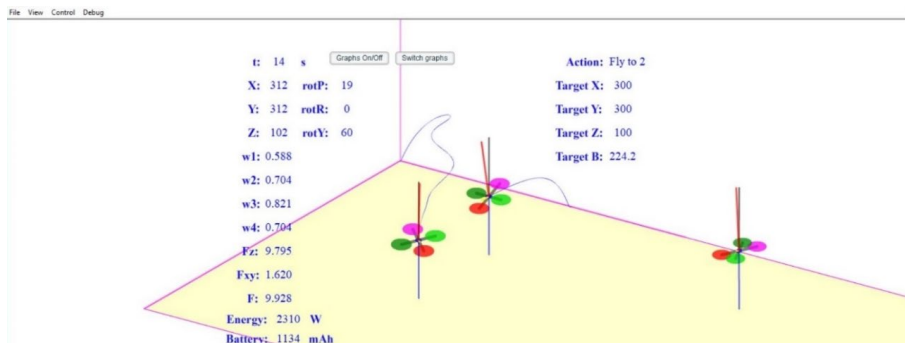


5.1. att. *UEV* sadursmes varbūtības novērtēšanas uzdevuma algoritma eksperiments.

Sava *UEV* koordinātas ir  $(0; 0)$ , un citu *UEV* koordinātas un krustojuma punktu koordinātas tiek aprēķinātas attiecībā pret sava *UEV* koordinātām. Datorsimulācijai tika izmantots vienāds ātrums abiem *UEV*. Izstrādātais datormodelis nodrošina iespēju izmantot arī dažādus ātrumus. Kā liecina datoreksperimenta rezultāti, sadursmes varbūtība ir atkarīga no attāluma līdz krustojuma punktam, pieejamā reaģēšanas laika un transportlīdzekļu ātruma.

**Elektrotransporta sadursmes varbūtības novērtēšanas un minimizēšanas ar neironu tīklu algoritma eksperimentālo pētījumu rezultāti.** Tika veikts tradicionālā neironu tīkla

(ANN) eksperiments ar apmācību. ANN tika apmācīts pieņemt lēmumu par ātruma maiņu, lai novērstu transportlīdzekļu sadursmi. ANN ievades un izvades datu n apjoms ir dinamisks, jo transportlīdzekļu skaits var tikt mainīts. Eksperimentam tika izvēlēta šāda situācija: viens vilciens; viens autobuss; vilciena un autobusa trajektorijās ir krustojuma punkts. Šajā situācijā ANN sastāv no četriem ieejas un diviem izvades slāņiem. Datu kopas katrs elements apmācības procesa laikā tiek nosūtīts uz ANN ieejas slāni. Kad tiek aprēķinātas ātruma izmaiņas  $\Delta v_1$  un  $\Delta v_2$  vilcienam un autobusam, šīs vērtības tiek novērtētas, izmantojot  $TF$ . Tika veikts arī ANN pašmācības eksperiments. Eksperimenta pamatā bija arī bīstamības līmeņa novērtējums. Tika ievadītas divu objektu koordinātas un ātrums. Izstrādāta sistēma aprēķina iespējamo krustojuma punktu un sadursmes varbūtību. Ja sadursmes varbūtība ir lielāka, nekā norādīts, tad sistēma cenšas samazināt sadursmes varbūtību, minimāli mainot ātrumu. Veikta algoritma eksperimentāla pārbaude vairāku *UEV* sadursmju novēršanas uzdevumam (5.2. att.). Eksperimenta galvenā ideja bija iestatīt vienādas mērķa punkta koordinātas trim dažadiem bezpilota lidaparātiem (*UAV*) un pārliecināties, ka piedāvātais algoritms darbojas pareizi un *UAV* nesadursies.



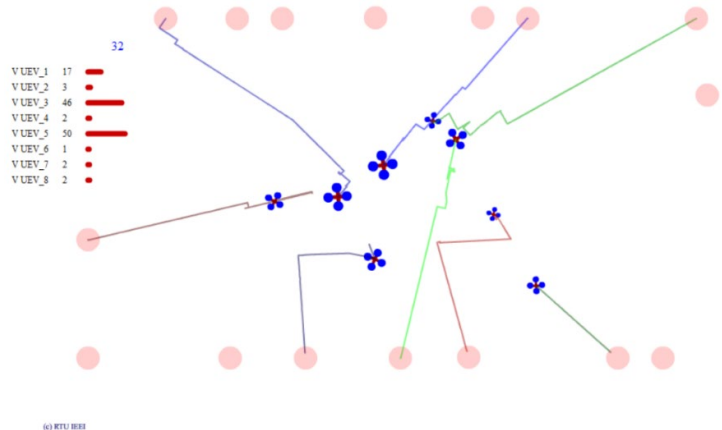
5.2. att. Elektrotransporta sadursmes varbūtības novērtēšanas un minimizēšanas ar neuronu tīklu algoritma eksperiments.

Rezultātā trīs *UAV* sasniedza mērķa punkta koordinātas bez sadursmes, un katrs no tiem bija mainījis tikai vienu mērķa koordinātu – augstumu saskaņā ar izstrādāto algoritmu. Eksperimenti liecina, ka ANN ir noderīgs sadursmes varbūtības samazināšanas uzdevumos.

**Elektrotransporta sadursmes varbūtības nepārraudzītas novērtēšanas un minimizēšanas ar jauno imūno neuronu tīklu algoritma eksperimentālo pētījumu rezultāti.** Tika veikti trīs dažadi eksperimenti, lai pierādītu piedāvātā algoritma efektivitāti. Par paraugu pirmajam datoreksperimentam tika ņemta pilsētas transporta sistēmas reālā daļa. *INN* ieejas dati ir visu *UEV* kustības ātrums un to attālums līdz krustojuma punktam, ieskaitot savu *UEV*. Saskaņā ar šiem datiem katrs *UEV* apmāca savu *INN*, lai iegūtu ātruma izmaiņas, kas atbilst mērķa funkcijai. Lēmums paātrināt vai bremzēt ir regulējams ar īpašu sadursmes jutības indeksu. Pašapmācības algoritma sākumā pirma svaru kopa, kas atbilst mērķa funkcijai, tiek saglabāta neuronu atmiņā. Maksimālais apmācības iterāciju skaits = 200. Ja, sasniedzot maksimālo iterāciju skaitu, risinājums joprojām nav atrasts, tiek pieņemts lēmums samazināt ātrumu. Tika salīdzināta trīs transporta vadības veidu izmantošana: simulācijas laikā bez

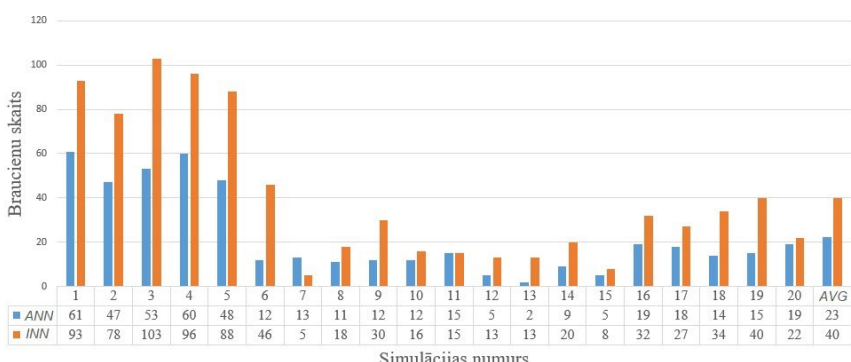
vadības kontroles tika konstatētas 110 sadursmes. Simulācijas laikā ar *ANN* tika konstatētas 19 sadursmes. Simulācijas laikā ar jaunu *INN* sadursmes netika konstatētas.

Otrs eksperiments tika veikts astoņu bezpilota lidaparātu grupai, katra simulācija bija 10 minūtes gara (5.3. att.). Katram *UAV* ir siks izmērs un ātrums, taču šie parametri simulāciju laikā netika mainīti. *UAV* varēja mainīt kustības trajektoriju (XY koordinātas) vai ātrumu, lai novērstu sadursmes. Piedāvātais modelis simulē reālu transportlīdzekļu uzvedību, tāpēc to lēmumi un izvades dati atšķiras. Datu saņemšanas aizkavē un kļūdas tika izmantotas, lai reproducētu reālā laika eksperimenta apstākļus. Šajā eksperimentā tika salīdzināta trīs transporta kontroles veidu izmantošana. Vidēji astoņi bezpilota lidaparāti veica 419 braucienus, un 10 minūšu simulācijas laikā bez kustības kontroles tika konstatētas 60 sadursmes. Simulāciju laikā ar *ANN* un ierosināto jauno *INN* sadursmju skaits tika samazināts līdz nullei.



5.3. att. Elektrotransporta sadursmes varbūtības nepārraudzītas novērtēšanas un minimizēšanas ar jauno imūno neironu tīklu algoritma eksperiments.

Simulāciju laikā ar *INN* braucienu skaits bija gandrīz divreiz lielāks nekā simulācijās ar *ANN* (5.4. att.). Datorsimulāciju rezultāti liecina, ka *INN* ir efektīvs sadursmju varbūtības minimizēšanā, vienlaikus samazinot nepieciešamo aprēķina laiku un palielinot braucienu skaitu.



5.4. att. Rezultātu salīdzinājums, balstīts konstatētu braucienu skaitā simulācijas laikā.

Ir nepieciešams izvēlēties atbilstošus *INN* sistēmas parametrus, jo arī tie ietekmē rezultātu. Trešā eksperimenta mērķis bija salīdzināt simulācijas rezultātus ar dažādiem parametru kopām un izprast to ietekmi uz izejas datiem. Salīdzinājums sniegs promocijas darbā.

## Secinājumi

Analizējot iegūtos rezultātus, var secināt, ka promocijas darba mērķis ir sasniegts.

1. Veikta pētījumu analīze. Tā parāda, ka, neraugoties uz lielo izgudrojumu skaitu, izstrādātās sistēmas bezapkalpes elektrotransportlīdzekļu vadībai neizpilda drošības uzdevumu pilnībā. Tāpēc tēma par transporta drošības uzlabojumu, izmantojot mākslīgā intelekta sistēmas, joprojām ir aktuāla.
2. Veikta centralizēto, decentralizēto un dalīto sistēmu modeļu salīdzināšana. Salīdzinājuma rezultāti liecina, ka dalītā sistēma ir labāka nekā centralizēta vai decentralizēta. Dalītie modeļi ir vieglāk realizējami, tajos ir mazāk komponentu, tie ir lētāki infrastruktūras īpašniekam, tie nav pieslēgti konkrētajai zonai, tiem ir arī samazināts reaģēšanas laiks un samazināts sistēmas atteices risks. Tāpēc šajā pētījumā tika izmantota dalītās sistēmas struktūra.
3. Izstrādāta un aprakstīta piedāvātās sistēmas struktūra. Visas funkcijas veic katrai elektrotransportlīdzeklī integrētais mikrokontrolleris jeb iegultais dators, kurā tiek veikts objekta atpazīšanas process un riska novērtēšana, kā arī iespēju izvērtēšana un lēmumu pieņemšana par nepieciešamo kustības parametru maiņu. Šāds risinājums palīdz samazināt datu apstrādes laiku, jo nav nepieciešamības pārsūtīt datus uz kopējo centru un atpakaļ.
4. Sistēmas struktūra tika iedalīta apakšsistēmās, lai labāk izprastu konkrētus procesus:
  - a) divas apakšsistēmas tika balstītas zināmajās metodēs: mākslīgā neironu tīkla (*ANN*) pārraudzītai sadursmes varbūtības novērtēšanai un minimizēšanai un konvolūcijas neironu tīkls (*CNN*) objektu atpazīšanai;
  - b) trešo apakšsistēmu – imūnā neironu tīkla (*INN*) balstītu mašīnmācības tehnoloģija drošai bezpilotu transportlīdzekļa kontrolei – autors izstrādāja šī pētījuma gaitā.
- Šajā pētījumā ir iekļauts arī tradicionālais neironu tīkls, lai salīdzinātu tā rezultātus ar izstrādātā jaunā *INN* imūnā neironu tīkla rezultātiem. Mērķis bija izdarīt secinājumus par to, vai jaunais tīkls ir labāks vai sliktāks par tradicionālo.
5. Izstrādātie matemātiskie modeļi tika sadalīti atbilstoši uzdevumiem:
  - a) modeļi objektu un signālu atpazīšanas uzdevumam;
  - b) modeļi sadursmes varbūtības novērtēšanas un iespējamā krustojuma punkta aprēķināšanas uzdevumam;
  - c) modeļi sadursmes varbūtības minimizēšanas uzdevumam.
6. Izstrādāti vairāki algoritmi:
  - a) izstrādātais imūnā neironu tīkla algoritms nepārraudzītas sadursmes varbūtības novērtēšanai un minimizēšanai elektrotransporta bīstamo situāciju atpazīšanas

- un novēršanas uzdevumam ir jauns algoritms, to paredzēts izmantot elektrotransportlīdzekļu bezpilota vadībai;
- b) visi pārējie algoritmi tiek izmantoti kā palīgmetodes elektrotransportlīdzekļu drošai bezpilota vadībai.
7. Izstrādāti un aprakstīti vairāki prototipi un datormodeli, kas bija izmantoti, lai pārbaudītu izstrādātos algoritmus un atrisinātu šādus uzdevumus:
- a) luksofora sarkanā signāla atpazīšana;
  - b) objektu atpazīšana;
  - c) sadursmes varbūtības novērtēšana un minimizēšana;
  - d) nepārraudzīta sadursmes varbūtības novērtēšana un minimizēšana.
8. Izstrādāta un aprakstīta bezpilota elektrotransportlīdzekļa sadursmju novēršanas ierīces ar neuzraudzītu imūnatmiņu elektriskā shēma, kuras pamatā ir viens borta dators. Elektriskā shēma izstrādāta *UEV* – kvadrokopteram, taču to var pielāgot un lietot arī cita veida elektrotransportam, jo izstrādātā sadursmju novēršanas iekārta ir daudzfunkcionāla un izmantojama ar dažāda veida elektrotransportlīdzekļiem.
9. Veikts *ANN* un *INN* balstītu algoritmu salīdzinājums, nemit vērā ietekmi uz satiksmes drošību un lēmuma aprēķināšanai nepieciešamo laiku, kur *INN* sniedz labākus rezultātus, kas aprakstīti nākamajos secinājumos. Rezultāti apstiprina definēto hipotēzi – imūnais neironu tīkls var pieņemt vadības lēmumus, lai novērstu transportlīdzekļu sadursmes ar labāku veiktspēju nekā tradicionālais neironu tīkls šajā uzdevumā.

Promocijas darba gaitā veiktie eksperimenti un iegūtie rezultāti ļauj izdarīt vairākus secinājumus.

1. Izstrādātais luksofora sarkanā signāla atpazīšanas metodes algoritms var bez kļūdām atšķirt sarkano signālu no citiem signāliem pēc sistēmas apmācības.
2. *CNN* ir piemērota metode objektu atpazīšanas procesam elektrotransporta bīstamo situāciju atpazīšanas un novēršanas uzdevumam. *CNN* ir iepriekš jāapmāca, lai samazinātu nepieciešamo aprēķina laiku.
3. Sadursmes varbūtība ir atkarīga no attāluma līdz krustojuma punktam, pieejamā reaģēšanas laika un transportlīdzekļu ātrumiem.
4. *ANN* metode un algoritms ir piemēroti sadursmes varbūtības novērtēšanai un minimizēšanai elektrotransporta bīstamo situāciju atpazīšanas un novēršanas uzdevumā. Ir iespējams izmantot iepriekš apmācītu *ANN* vai pašapmācību.
5. Jauna *INN* balstīta mašīnmācīšanās tehnoloģija bezpilota drošai transportlīdzekļa vadībai ir piemērota arī sadursmes varbūtības novērtēšanas un minimizēšanas uzdevumam. Piedāvātais *INN* nav iepriekš jāapmāca. Sadursmes varbūtības minimizēšanas procesu var sākt pat ar tukšu imūno atmiņu.
6. Piedāvāto *INN* var izmantot, lai samazinātu sadursmes varbūtību, uzlabojot bezpilota transporta drošību un paātrinot datu apstrādi reālā laika apstākļos ar minimālu novirzi no uzdevuma izpildes.

7. Izstrādātais *INN* balstītais algoritms ir daudzfunkcionāls, to var izmantot dažāda veida elektrotransportlīdzekļu vadības sistēmās. Atkarībā no elektrotransportlīdzekļa specifikācijas sistēma var apgūt dažādus ieejas parametrus, piemēram, ātrumu, atrašanās vietu un kustības trajektoriju, kā arī izsniegt dažādus izvades datus, piemēram, nepieciešamo ātruma vai kustības virziena maiņu.
8. Izstrādātais *INN* ir labāks par tradicionālo *ANN* elektrotransporta bīstamo situāciju atpazīšanas un novēršanas uzdevumā, jo ar *INN* tiek samazināts sadursmju skaits, kas nodrošina drošāku transportēšanas procesu. Datorsimulācijas rezultāts liecina, ka eksperimenta laikā, kad *UEV* spēja mainīt tikai savu ātrumu, bet ne kustības trajektoriju, 30 minūšu ilgās simulācijas laikā ar *ANN* tika konstatētas 19 sadursmes, savukārt simulācijas laikā ar piedāvāto *INN* sadursmes netika konstatētas.
9. Piedāvātais *INN* ir labāks par tradicionālo *ANN* elektrotransporta bīstamo situāciju atpazīšanas un novēršanas uzdevumā, jo ar *INN* tiek samazināts aprēķinu laiks, kas rada lielāku drošu braucienu skaitu. Datorsimulāciju rezultāti, kuros *UEV* spēja mainīt savu ātrumu un kustības trajektoriju:
  - a) bez datu pārraides kavējumiem un kļūdām – *INN* izmantošana palīdz palielināt braucienu skaitu par 70 %, salīdzinot ar tradicionāla *ANN* izmantošanu;
  - b) ar datu pārraides kavējumiem un neatbilstošu maksimālo attālumu līdz citam *UEV*, lai sāktu avārijas novēršanu – *INN* izmantošana palīdz palielināt braucienu skaitu par 92 %, salīdzinot ar tradicionāla *ANN* izmantošanu, un samazināt sadursmju skaitu par 25 %, salīdzinot ar tradicionāla *ANN* izmantošanu;
  - c) ar datu pārraides kavējumiem un atbilstošu maksimālo attālumu līdz citam *UEV*, lai sāktu avārijas novēršanu – *INN* izmantošana palīdz palielināt braucienu skaitu par 100 %, salīdzinot ar tradicionāla *ANN* izmantošanu;
  - d) ar datu pārraides kavējumiem un kļūdām – *INN* izmantošana palīdz palielināt braucienu skaitu par 82 %, salīdzinot ar tradicionāla *ANN* izmantošanu.
10. Rezultātu ietekmē arī *INN* sistēmas parametri. Nav iespējams precīzi noteikt, kuras parametru vērtības ir labākās, jo izejas dati ir atkarīgi no neparedzamiem parametriem, piemēram, kļūdām un aizkavēm. *INN* sistēmas parametriem jābūt regulējamiem atkarībā no situācijas.

#### Nākotnes pētniecības perspektīvas

1. Kiberdrošības un signāla vai sakaru zuduma tēma šajā pētījumā netika izskatīta. Tā tiek uzskatīta par perspektīvu turpmākiem zinātniskiem pētījumiem.
2. Nepieciešams izstrādāt atrašanās vietas un ātruma prognozēšanas algoritmus, lai turpinātu aprēķinu, ja datu saņemšana aizkavējas.
3. Simulāciju rezultāti liecina, ka *INN* samazina iterāciju skaitu un aprēķinu laiku. Jāizanalizē, vai tas ir pietiekami, lai izmantotu *INN* mazjaudas sistēmās.
4. Nepieciešams veikt eksperimentus, izmantojot vairākus mikrokontrollerus, kas imitēs elektrotransportlīdzekļu uzvedību, un salīdzināt eksperimentu rezultātus ar šajā pētījumā aprakstītiem.

## Izmantotie informācijas avoti

- [1] S. De Nadai u.c. Enhancing safety of transport by road by on-line monitoring of driver emotions. 2016 11th System of Systems Engineering Conference (SoSE): Konferences materiāli, Kongsberga, Norvēģija, 2016. g., 1.–4. lpp., doi: 10.1109/SYSoSE.2016.7542941.
- [2] A. Nikolajevs, M. Mežītis. Level crossing time prediction. 2016 57th International Scientific Conference on Power and Electrical Engineering of Riga Technical University (RTUCON): Konferences materiāli, Rīga, Latvija, 2016. g., 1.–3. lpp., doi: 10.1109/RTUCON.2016.7763105.
- [3] R. Sell, A. Ņikitenko, A. Žiravecka, K. Berkolds, K. Vītols, P. Czekalski. Unmanned Electrical Vehicles and Autonomous System Simulation. Rīga, Latvija, 2021. g., 212. lpp. ISBN 978-9934-22-667-0. e-ISBN 978-9934-22-668-7.
- [4] R. Donato. Research of Parallel Computing Neuro-fuzzy Networks for Unmanned Vehicles. Promocijas darbs. Rīga, Latvija, 2021. g., 249. lpp.
- [5] “Tesla Model S That Crashed Into Fire Truck Had Autopilot Engaged”, 2019. g. [Tiešsaistē]. Pieejams: <https://www.consumerreports.org/car-safety/tesla-model-s-that-crashed-into-fire-truck-had-autopilot-engaged/>.
- [6] “Field testing a new delivery system with Amazon Scout”, 2019. g. [Tiešsaistē]. Pieejams: <https://blog.aboutamazon.com/transportation/meet-scout>.
- [7] “Project Titan’ Apple Car may have wide sliding doors and an adaptive stability system”, 2019. g. [Tiešsaistē]. Pieejams: <https://appleinsider.com/articles/19/08/20/project-titan-apple-car-may-have-wide-sliding-doors-and-an-adaptive-stability-system>.
- [8] “Current topics from the world of Audi”, 2023. g. [Tiešsaistē]. Pieejams: <https://www.audi.com/en/experience-audi/mobility-and-trends/iaa-2019.html>.
- [9] “NVIDIA DRIVE End-to-End Platform for Software-Defined Vehicles”, 2023. g. [Tiešsaistē]. Pieejams: <https://www.nvidia.com/en-us/self-driving-cars/drive-platform/>.
- [10] “40+ Corporations Working On Autonomous Vehicles”, 2020. g. [Tiešsaistē]. Pieejams: <https://www.cbinsights.com/research/autonomous-driverless-vehicles-corporations-list/>.
- [11] “Dual Motor Model S and Autopilot”, 2014. g. [Tiešsaistē]. Pieejams: <https://www.tesla.com/blog/dual-motor-model-s-and-autopilot>.
- [12] “Dual Motor Model S and Autopilot”, 2019. g. [Tiešsaistē]. Pieejams: <https://www.forbes.com/sites/greggandler/2019/09/03/ntsb-finds-teslas-autopilot-failed-in-2018-crash-with-fire-truck/#53e34a2d6b96>.
- [13] “Driver Errors, Advanced Driver Assistance System Design, Led to Highway Crash”, 2019. g. [Tiešsaistē]. Pieejams: <https://www.ntsb.gov/news/press-releases/Pages/NR20190904.aspx>.
- [14] “SharkSpotter combines AI and drone technology to spot sharks and aid swimmers on Australian beaches”, 2018. g. [Tiešsaistē]. Pieejams:

- <http://theconversation.com/sharkspotter-combines-ai-and-drone-technology-to-spot-sharks-and-aid-swimmers-on-australian-beaches-92667>.
- [15] "Amazon delivered its first customer package by drone", 2016. g. [Tiešsaistē]. Pieejams: <https://eu.usatoday.com/story/tech/news/2016/12/14/amazon-delivered-its-first-customer-package-drone/95401366/>.
- [16] "Safran group", 2023. g. [Tiešsaistē]. Pieejams: <https://www.safran-group.com>.
- [17] "Tesla Deaths", 2023. g. [Tiešsaistē]. Pieejams: <https://www.tesladeaths.com/>.
- [18] A. Kornejevs, M. Gorobecs. Neural Network Based UAV Optimal Control Algorithm for Energy Efficiency Maximization. 2020 IEEE 61st International Scientific Conference on Power and Electrical Engineering of Riga Technical University (RTUCON 2020): Konferences materiāli, Rīga, Latvija, 2020. g. ISBN 978-1-7281-9511-7. e-ISBN 978-1-7281-9510-0. Pieejams: doi:10.1109/RTUCON51174.2020.9316556.
- [19] Dong Hwa Kim un Kyu Young Lee. Neural networks control by immune network algorithm based auto-weight function tuning. 2002 International Joint Conference on Neural Networks: Konferences materiāli, Honolulu, ASV, 2002. g., 1469.–1474. lpp. doi: 10.1109/IJCNN.2002.1007734.
- [20] Li Y., Feng W., Zhu X.K., Tan K.C., Guan X. un Ang K.H. PIDeasy and automated generation of optimal PID controllers. 3rd Asia-Pacific Conference on Control and Measurement: Konferences materiāli, Dunhuang, Ķīna, 1998. g., 29.–33. lpp.
- [21] K. J. Astrom un T. Hagglund. PID Controllers: Theory, Design, and Tuning, 2nd Edition. ISA, 1995. g.
- [22] Haykin S. Neural networks. A comprehensive foundation, Second edition, 2006. g. 842 lpp.
- [23] R. Pasti un L. Nunes de Castro. A Neuro-Immune Network for Solving the Traveling Salesman Problem. The 2006 IEEE International Joint Conference on Neural Network Proceedings: Konferences materiāli, Vankūvera, Kanada, 2006. g., 3760.–3766. lpp., doi: 10.1109/IJCNN.2006.247394.
- [24] D. Wang, C. Huo, Z. Tong, Y. Yang un Y. Wang. Research on Vehicle Anti-collision Algorithm Based on Fuzzy Control. 2019 Chinese Control And Decision Conference (CCDC): Konferences materiāli, Nanchang, Ķīna, 2019. g., 2361.–2366. lpp., doi: 10.1109/CCDC.2019.8833461.
- [25] Z. Liu, J. Chen, F. Lan, H. Xia. Methodology of hierarchical collision avoidance for high-speed self-driving vehicle based on motion-decoupled extraction of scenarios. IET Intelligent Transport Systems, 2020. g., 172.–181. lpp.
- [26] C. Rosales, J. Gimenez, F. Rossomando, C. Soria, M. Sarcinelli-Filho un R. Carelli. UAVs Formation Control With Dynamic Compensation Using Neuro Adaptive SMC. 2019 International Conference on Unmanned Aircraft Systems (ICUAS): Konferences materiāli, Atlanta, ASV, 2019. g., 93.–99. lpp., doi: 10.1109/ICUAS.2019.8798282.
- [27] L. Ling, Y. Niu un H. Zhu. Lyapunov method-based collision avoidance for UAVs. The 27th Chinese Control and Decision Conference (2015 CCDC): Konferences materiāli, Cjindao, Ķīna, 2015. g., 4716.–4720. lpp., doi: 10.1109/CCDC.2015.7162758.

- [28] M. Gorobecs. Research of the genetic algorithms for optimal control of electric transport. Promocijas darbs, Latvija, Rīga, 2008. g.
- [29] S. Roelofsen, A. Martinoli un D. Gillet. 3D collision avoidance algorithm for Unmanned Aerial Vehicles with limited field of view constraints. 2016 IEEE 55th Conference on Decision and Control (CDC): Konferences materiāli, Las Vegas, ASV, 2016. g., 2555.–2560. lpp., doi: 10.1109/CDC.2016.7798647.
- [30] R. Ke, Z. Li, J. Tang, Z. Pan un Y. Wang. Real-Time Traffic Flow Parameter Estimation From UAV Video Based on Ensemble Classifier and Optical Flow. IEEE Transactions on Intelligent Transportation Systems. 2019. g. 54.–64. lpp., doi: 10.1109/TITS.2018.2797697.
- [31] Samarjit Kar, Sujit Das, Pijush Kanti Ghosh. Applications of neuro fuzzy systems: A brief review and future outline. Applied Soft Computing. 2014. g., 243.–259. lpp., ISSN 1568-4946, <https://doi.org/10.1016/j.asoc.2013.10.014>.
- [32] S. V. Ioannou, A. T. Raouzaiou, V. A. Tzouvaras, R. P. Mailis, K. C. Karpouzis, S. D. Kollias. Emotion recognition through facial expression analysis based on aneuro fuzzy network. Neural Networks 18. 2005. g., 423.–435. lpp.
- [33] N. M. Thanh, M. S. Chen. Image denoising using adaptive neuro-fuzzy system. IAENG International Journal of Applied Mathematics 36. 2007 g.
- [34] Y. Chakrapani, K. Soundararajan. Adaptive neuro-fuzzy inference systembased fractal image compression. International Journal of Recent Trends inEngineering 2. 2009. g., 47.–51. lpp.
- [35] V. John, K. Yoneda, Z. Liu un S. Mita. Saliency Map Generation by the Convolutional Neural Network for Real-Time Traffic Light Detection Using Template Matching. IEEE Transactions on Computational Imaging, 2015. g. 159.–173. lpp. doi: 10.1109/TCI.2015.2480006.
- [36] M. Z. Abedin, P. Dhar un K. Deb. Traffic Sign Recognition using SURF: Speeded up robust feature descriptor and artificial neural network classifier. 2016 9th International Conference on Electrical and Computer Engineering (ICECE): Konferences materiāli, Daka, Bangladeša, 2016. g., 198.–201. lpp., doi: 10.1109/ICECE.2016.7853890.
- [37] R. Qian, Q. Liu, Y. Yue, F. Coenen un B. Zhang. Road surface traffic sign detection with hybrid region proposal and fast R-CNN. 2016 12th International Conference on Natural Computation, Fuzzy Systems and Knowledge Discovery (ICNC-FSKD): Konferences materiāli, Čanša, Ķīna, 2016. g., 555.–559. lpp., doi: 10.1109/FSKD.2016.7603233.
- [38] Z. Yi, Y. Wang, D. Tian, G. Lu un H. Xia. A Road Safety Evaluation Method Based on Clustering Neural Network. 2010 International Conference on Optoelectronics and Image Processing: Konferences materiāli, Haikou, Ķīna, 2010. g., 108.–111. lpp., doi: 10.1109/ICOIP.2010.60.
- [39] L. Nassar un F. Karray. Fuzzy Logic in VANET context aware Congested Road and Automatic Crash Notification. 2016 IEEE International Conference on Fuzzy Systems (FUZZ-IEEE): Konferences materiāli, Vankūvera, Kanada, 2016. g., 1031.–1037. lpp., doi: 10.1109/FUZZ-IEEE.2016.7737801.

- [40] R. Qian, Y. Yue, F. Coenen un B. Zhang. Traffic sign recognition with convolutional neural network based on max pooling positions. 2016 12th International Conference on Natural Computation, Fuzzy Systems and Knowledge Discovery (ICNC-FSKD): Konferences materiāli, Čanša, Ķīna, 2016. g., 578.–582. lpp., doi: 10.1109/FSKD.2016.7603237.
- [41] W. Zhang, L. Chen, W. Gong, Z. Li, Q. Lu un S. Yang. An Integrated Approach for Vehicle Detection and Type Recognition. 2015 IEEE 12th Intl Conf on Ubiquitous Intelligence and Computing and 2015 IEEE 12th Intl Conf on Autonomic and Trusted Computing and 2015 IEEE 15th Intl Conf on Scalable Computing and Communications and Its Associated Workshops (UIC-ATC-ScalCom): Konferences materiāli, Pekina, Ķīna, 2015. g., 798.–801. lpp., doi: 10.1109/UIC-ATC-ScalCom-CBDCom-IoP.2015.157.
- [42] R. Ghosh, A. Mishra, G. Orchard un N. V. Thakor. Real-time object recognition and orientation estimation using an event-based camera and CNN. 2014 IEEE Biomedical Circuits and Systems Conference (BioCAS): Konferences materiāli, Lozanna, Šveice, 2014. g., 544.–547. lpp., doi: 10.1109/BioCAS.2014.6981783.
- [43] D. C. Ciresan, U. Meier, L. M. Gambardella un J. Schmidhuber. Convolutional Neural Network Committees for Handwritten Character Classification. 2011 International Conference on Document Analysis and Recognition: Konferences materiāli, Pekina, Ķīna, 2011. g., 1135.–1139. lpp., doi: 10.1109/ICDAR.2011.229.
- [44] L. Chen, X. Guo un C. Geng. Human face recognition based on adaptive deep Convolution Neural Network. 2016 35th Chinese Control Conference (CCC): Konferences materiāli, Čendu, Ķīna, 2016. g., 6967.–6970 lpp., doi: 10.1109/ChiCC.2016.7554454.
- [45] A. Tuama, F. Comby un M. Chaumont. Camera model identification with the use of deep convolutional neural networks. 2016 IEEE International Workshop on Information Forensics and Security (WIFS): Konferences materiāli, Abū Dabī, Apvienotie Arābu Emirāti, 2016. g., 1.–6. lpp., doi: 10.1109/WIFS.2016.7823908.
- [46] C. D. Huang, C. Y. Wang un J. C. Wang. Human action recognition system for elderly and children care using three stream ConvNet. 2015 International Conference on Orange Technologies (ICOT): Konferences materiāli, Honkonga, Ķīna, 2015. g., 5.–9. lpp., doi: 10.1109/ICOT.2015.7498476.
- [47] H. Guan, W. Xingang, W. Wenqi, Z. Han un W. Yuanyuan. Real-time lane-vehicle detection and tracking system. 2016 Chinese Control and Decision Conference (CCDC): Konferneces materiāli, Yinchuan, Ķīna, 2016. g., 4438.–4443. lpp., doi: 10.1109/CCDC.2016.7531784.
- [48] S. Rawat, Z. A. Faridi un P. Kumar. Analysis and proposal of a novel approach to collision detection and avoidance between moving objects using artificial intelligence. 2016 International Conference System Modeling & Advancement in Research Trends (SMART): Konferences materiāli, Moradabad, Indija, 2016. g., 135.–138. lpp., doi: 10.1109/SYSMART.2016.7894505.

- [49] J. A. Douthwaite, A. De Freitas un L. S. Mihaylova. An interval approach to multiple unmanned aerial vehicle collision avoidance. 2017 Sensor Data Fusion: Trends, Solutions, Applications (SDF): Konferences materiāli, Bonna, Vācija, 2017. g., 1.–8. lpp., doi: 10.1109/SDF.2017.8126384.
- [50] R. Darío Fonnegra Tarazona, F. R. Lopera and G. -D. G. Sánchez. Anti-collision system for navigation inside an UAV using fuzzy controllers and range sensors. 2014 XIX Symposium on Image, Signal Processing and Artificial Vision: Konferences materiāli, Armēnija, Kolumbija, 2014. g., 1.–5. lpp., doi: 10.1109/STSIVA.2014.7010153.
- [51] G. Staņa, V. Bražis, P. Apse-Apsītis. Virtual energy simulation of induction traction drive test bench. 2014 IEEE 2nd Workshop on Advances in Information, Electronic and Electrical Engineering (AIEEE): Konferences materiāli, Vilņa, Lietuva, 2014. g., 1.–6. lpp., doi: 10.1109/AIEEE.2014.7020330.
- [52] L. Ribickis, M. Gorobecs, A. Ļevčenkovs. Neuro-Immune Algorithm for Embedded Real-Time Control System in Transport Safety Tasks. Frontiers in Artificial Intelligence and Applications, 2018. g., 251.–265. lpp. ISSN 0922-6389. e-ISSN 1879-8314. Pieejams: doi:10.3233/978-1-61499-929-4-251.
- [53] R. Fuller. Neuro-Fuzzy Methods for Modeling & Fault Diagnosis, Lisabona, Portugāle, 2001. g., 77 lpp.
- [54] K. Li. The Challenges and Potential of Risk Assessment for Active Safety of Unmanned Tram. 2018 International Conference on Control, Automation and Information Sciences (ICCAIS): Konferences materiāli, Hangdžou, Ķīna, 2018. g., 22.–27. lpp., Pieejams: doi: 10.1109/ICCAIS.2018.8570696.
- [55] R. Ke, Z. Li, J. Tang, Z. Pan un Y. Wang. Real-Time Traffic Flow Parameter Estimation From UAV Video Based on Ensemble Classifier and Optical Flow. IEEE Transactions on Intelligent Transportation Systems, 2019. g., 54.–64. lpp., Pieejams: doi: 10.1109/TITS.2018.2797697.
- [56] A. Korņejevs, M. Gorobecs, I. Alps, L. Ribickis. Adaptive Traction Drive Control Algorithm for Electrical Energy Consumption Minimisation of Autonomous Unmanned Aerial Vehicle. Electrical, Control and Communication Engineering, 2019. g., 62.–70. lpp. ISSN 2255-9140. e-ISSN 2255-9159. Pieejams: doi:10.2478/ecce-2019-0009.
- [57] G. Strupka. Algorithm for Unmanned Aerial Vehicle to Supervise Applications for Civil and Power Engineering Tasks. 17th International Symposium “Topical Problems in the Field of Electrical and Power Engineering” and “Doctoral School of Energy and Geotechnology III”: Konferences materiāli, Kuresāre, Igaunija, 2018. g., 149.–152. lpp. ISBN 978-9949-832-13-2.
- [58] M. Mofaddel, D. Tavangarian. A Distributed System with a Centralized Organization, Rostoka, Vācija, 1997. g.
- [59] R. Dewan, N. Pahuja, S. Kukreja. Distributed operating system – an overview, International Journal of Research (IJR) Vol-1, Issue-10, 2014. g.
- [60] P. Graybeal, M. Franklin, D. Cooper. Principles of accounting, Vol. 2: Managerial Accounting, 2019. g.

- [61] Z. Alom Md, M. Taha Tarek, C. Yakopcic C, S. Westberg, P. Sidike, S. Nasrin Mst, M. Hasan, B.C. Van Essen, A. S. Awwal Abdul, K. Asari Vijayan. A State-of-the-Art Survey on Deep Learning Theory and Architectures. 2019. g. Pieejams: <https://doi.org/10.3390/electronics8030292>.
- [62] G.E. Hinton, S. Osindero, Y.-W. The. A fast learning algorithm for deep belief nets. *Neural Comput.* 2006. g., 1527.–1554. lpp.
- [63] V. Nair, G.E. Hinton. Rectified linear units improve restricted boltzmann machines. 27th International Conference on Machine Learning (ICML-10): Konferences materiāli, Haifa, Izraēla, 2010. g., 807.–814. lpp.
- [64] Y. Hu, G.-K. Park. Collision risk assessment based on the vulnerability of marine accidents using fuzzy logic. *International Journal of Naval Architecture and Ocean Engineering*. 2020. g., 541.–551. lpp. [10.1016/j.ijnaoe.2020.06.005](https://doi.org/10.1016/j.ijnaoe.2020.06.005).
- [65] B. Sahin un Y. Senol. A Novel Process Model for Marine Accident Analysis by using Generic Fuzzy-AHP Algorithm. *Journal of Navigation*. 2014. g., 162.–183. lpp, [10.1017/S0373463314000514](https://doi.org/10.1017/S0373463314000514).
- [66] B.Sahin un T.-L. Yip. Shipping technology selection for dynamic capability based on improved Gaussian fuzzy AHP model. *Ocean Engineering*. 2017. g., 233.–242. lpp., [10.1016/j.oceaneng.2017.03.032](https://doi.org/10.1016/j.oceaneng.2017.03.032).
- [67] T. Chen, E. Grabs, E. Pētersons, D. Efrosinin, A. Ipatovs, N. Bogdanovs, D. Rjazanovs. Multiclass Live Streaming Video Quality Classification Based on Convolutional Neural Networks. *Automatic Control and Computer Sciences*, 2022. g., 455.–466. lpp., ISSN 0146-4116. e-ISSN 1558-108X. Pieejams: doi:[10.3103/S0146411622050029](https://doi.org/10.3103/S0146411622050029).
- [68] E. Grabs, E. Pētersons, D. Efrosinin, A. Ipatovs, J. Klūga, V. Sturm. Accuracy evaluation of supervised machine learning classification models for wireless network traffic. *International Journal of Communication Networks and Distributed Systems*, 2022. g., 655.–678. lpp.
- [69] A. Bondarenko. Development of Knowledge Extraction Methodology from Trained Artificial Neural Networks. Promocijas darbs. Rīga, Latvija, 2020. g. 158 lpp.
- [70] I. Namatevs, K. Sudars, I. Polaka. Automatic Data Labeling by Neural Networks for the Counting of Objects in Videos. *Procedia Computer Science*. Vol. 149: ICTE in Transportation and Logistics 2018 (ICTE 2018), Klaipeda, Lietuva, 2019. g., 151.–158. lpp., ISSN 1877-0509. Pieejams: doi:[10.1016/j.procs.2019.01.118](https://doi.org/10.1016/j.procs.2019.01.118).
- [71] R. Kadikis R. Efficient Methods for Detection and Characterization of Moving Objects in Video. Promocijas darbs, Rīga, Latvija, 2018. g., 132 lpp.
- [72] J. Kreicbergs, J. Smirnovs, A. Lāma, J. Smirnovs, A. Zariņš. Road Traffic Safety Development Trends in Latvia. *The Baltic Journal of Road and Bridge Engineering*, 2021. g., Vol. 16, No. 4, 58.–78. lpp. ISSN 1822-427X. e-ISSN 1822-4288. Pieejams: doi:[10.7250/bjrbe.2021-16.539](https://doi.org/10.7250/bjrbe.2021-16.539).
- [73] V. Āmare, J. Smirnovs. Road Traffic Safety Analysis of Different Junction Types on the State Roads. *Materials Science and Engineering: Konferences materiāli*, 2021. g., ISSN 1757-8981. e-ISSN 1757-899X. Pieejams: doi:[10.1088/1757-899X/1202/1/012034/pdf](https://doi.org/10.1088/1757-899X/1202/1/012034/pdf).

- [74] A. Bitiņš, J. Maklakovs, R. Bogdane, R. Chatys, V. Šestakovs. Using Adverse Event Pyramids to Assess Probabilities in Airline Safety Management. *Transactions on Aerospace Research*, 2021. g., 71.–83. lpp. e-ISSN 2545-2835. Pieejams: doi:10.2478/tar-2021-0012.
- [75] V. Jasiuniene, D Cigas. Analysis of Older Pedestrian Accidents: A Case Study of Lithuania. *The Baltic Journal of Road and Bridge Engineering*, 2020. g., 147.–160. lpp., ISSN 1822-427X. e-ISSN 1822-4288. Pieejams: doi:10.7250/bjrbe.2020-15.465.
- [76] V. Jasiuniene, R. Vaiskunaite. Road Safety Assessment Considering the Expected Fatal Accident Density. *The Baltic Journal of Road and Bridge Engineering*, 2020. g., 31. – 48. lpp. ISSN 1822-427X. e-ISSN 1822-4288. Pieejams: doi:10.7250/bjrbe.2020-15.471.
- [77] N. Dung. Developing Models for Managing Drones in the Transportation System in Smart Cities. *Electrical, Control and Communication Engineering*, 2019. lpp. 71.– 78. lpp. ISSN 2255-9140. e-ISSN 2255-9159. Pieejams: doi:10.2478/ecce-2019-0010.
- [78] D. Bušs, K. Abishev, A. Baltabekova. Driver's Reliability and Its Effect on Road Traffic Safety. *ICTE in Transportation and Logistics 2018 (ICTE 2018): Konferences materiāli*, Klaipēda, Lietuva, 2019. g., 463.–466. lpp. ISSN 1877-0509. Pieejams: doi:10.1016/j.procs.2019.01.163.
- [79] J. Freimane, M. Mežītis, F. Mihailovs. Maneuver Movements' Safety Increase Using Maneuver Locomotive Identification and Distance Control. *Procedia Computer Science: Konferences materiāli*, 2017. g., 375.–379. lpp. ISSN 1877-0509. Pieejams: doi:10.1016/j.procs.2017.01.148.
- [80] M. Gorobecs, A. Ļevčenkovs. Intelligent Electric Vehicle Motion and Crossroad Control Using Genetic Algorithms. *Proceedings of 10th International Conference on Intelligent Technologies in Logistics and Mechatronics Systems (ITELMS): Konferences materiāli*, Panevēža, Lietuva, 2015. g., 1.–6. lpp.
- [81] “Elon Musk says next year's Tesla cars will be able to self-drive 90 percent of the time”, 2014. g. [Tiešsaistē]. Pieejams: <https://www.theverge.com/2014/10/2/6894875/elon-musk-says-next-years-tesla-cars-will-be-able-to-self-drive-90-percent-of-the-time>.
- [82] “Elon Musk says Tesla's fully autonomous cars will hit the road in 3 years”, 2015. g. [Tiešsaistē]. Pieejams: <https://www.businessinsider.com/elon-musk-on-teslas-autonomous-cars-2015-9>.
- [83] “Elon Musk's road to Twitter is paved with broken promises”, 2022. g. [Tiešsaistē]. Pieejams: <https://www.washingtonpost.com/technology/2022/04/15/elon-musk-promises/>.
- [84] “Elon Musk is ‘extremely confident’ Tesla will release full autonomy in ‘some jurisdictions’ next year”, 2020. g. [Tiešsaistē]. Pieejams: <https://electrek.co/2020/12/02/elon-musk-extremely-confident-tesla-release-full-autonomy-some-jurisdictions-2021/>.
- [85] “Elon Musk is once again promising Teslas will drive themselves in the near future — a claim he's been making since at least 2015”, 2022. g. [Tiešsaistē]. Pieejams:

- <https://www.businessinsider.com/elon-musk-history-of-full-self-driving-promise-2022-1>.
- [86] “Elon Musk Promises Full Self-Driving Teslas in 2022”, 2022. g. [Tiešsaistē]. Pieejams: <https://www.thestreet.com/lifestyle/cars/elon-musk-promises-full-self-driving-teslas-in-2022>.
- [87] M. Erskine, D. Milburn. Digital Train Control Functional Safety For AI Based Systems. Proceedings of International Railway Safety Council Conference: Konferences materiāli, 2019. g. Pērta, Austrālia.
- [88] Railway Gazette, SNCF targets autonomous trains in five years, 2018. g.
- [89] “Germany to introduce driverless trains by 2023”, 2016. g. [Tiešsaistē]. Pieejams: <https://www.themanufacturer.com/articles/germany-to-introduce-driverless-trains-by-2023/>.
- [90] Smart Rail World, DB tells staff and unions to prepare for driverless operations by 2021, 2016. g.
- [91] A. Simmons, N. Furness, The main line ATO journey, IRSE News, Issue 251, 2019. g.
- [92] “Latvijas nacionālais terminoloģijas portāls”, 2023. g. [Tiešsaistē]. Pieejams: <https://termini.gov.lv/>.



**Anna Beinaroviča** dzimusi 1989. gadā Daugavpilī. Rīgas Tehniskajā universitātē (RTU) ieguvusi profesionālā bakalaura grādu un inženiera kvalifikāciju (2014) un profesionālā maģistra grādu (2016) dzelzceļa transportā.

No 2016. līdz 2020. gadam ir bijusi SIA "LDZ CARGO" Biznesa procesu izpētes un attīstības nodalas galvenā speciāliste. No 2017. līdz 2020. gadam – RTU zinātniskā asistente. Patlaban A. Beinaroviča ir SIA "Meditec" sistēmanalītiķe un RTU zinātniskā asistente.

2017. gadā apguvusи SIA "ITLAT Mācību centrs" profesionālās pilnveides izglītības programmu "Programmēšanas valodas C/C++". 2022. gadā saņēmusи *International Institute of Business Analysis (IIBA)* profesionālā biznesa analītiķa sertifikātu (CBAP). A. Beinaroviča ir 15 publikāciju, kas indeksētas *Web of Science* vai *Scopus* datubāzē, līdzautore.

Zinātniskās intereses saistītas ar mākslīgā intelekta izmantošanu transporta sistēmās, nodrošinot drošu bezpilota transportlīdzekļu kustību.